

Doação de
TOFANI à
Biblioteca do IPR

INSTITUTO DE PESQUISAS RADIOATIVAS - UFMG/CNEN
DIVISÃO DE REAORES

Junho, 1971

ESTUDO DE ASPECTOS TÉRMICOS DE UM
RECIPIENTE PARA TRANSPORTE DE ELEMENTOS
COMBUSTÍVEIS IRRADIADOS

Newton Moreira Leal

Tese submetida ao Curso de Ciências e Técnicas
Nucleares da Universidade Federal de Minas Ge-
rais, como parte dos requisitos necessários
para a obtenção do grau de Mestre em Ciências

A G R A D E C I M E N T O S

O presente trabalho foi realizado no Laboratório de Térmica do IPR, dentro do programa de atividades do mesmo.

Agradeço ao Prof. Milton Campos, Diretor do Instituto de Pesquisas Radicativas, permitindo a elaboração desta tese.

Exprimo meus agradecimentos ao MSc. João Luiz Campos pela eficiente orientação e interesse durante a elaboração de todas as fases deste estudo.

Meus agradecimentos se estendem também ao Dr. Paulo de Carvalho Tófani pelas sugestões feitas, ao pessoal da Seção de Matemática Aplicada pela ajuda prestimosa na elaboração do programa; à Srta. Yeda Maria Rodrigues pelo trabalho diligente de datilografia e ao Sr. Álvaro Samazano Filho, pela confecção criteriosa dos desenhos.

S U M Á R I O

Os elementos combustíveis de reatores nucleares, após terem sido irradiados, devem ser transportados do local do reator à usina de reprocessamento em recipientes especialmente projetados para tal fim, obedecendo uma série de normas de segurança. Sob o ponto de vista térmico, tais recipientes devem dissipar o calor gerado em seu interior e absorvido por radiação solar de tal modo que a temperatura da superfície não exceda 82°C e a de seu interior não comprometa a integridade dos elementos combustíveis.

Este trabalho analisa aspectos térmicos de um recipiente capaz de transportar 9 elementos combustíveis do tipo MTR (ou maior número de elementos combustíveis tipo TRIGA ou ARGONAUTA), no qual a extração de calor é feita por água em circulação natural, e a dissipação do calor para o meio ambiente é feita por convecção livre e radiação.

As distribuições de temperatura e fluxos de calor foram determinados por um código de cálculo escrito em FORTRAN II, que utiliza como subprograma alguns parâmetros obtidos por um aparelhamento experimental que simula os fenômenos térmicos do recipiente por analogia elétrica.

PARTE I - GENERALIDADES SOBRE RECIPIENTES PARA TRANSPORTE
DE ELEMENTOS COMBUSTÍVEIS

I.1. INTRODUÇÃO	1
I.2. NORMAS RELATIVAS AO TRANSPORTE DE MATERIAL IRRADIADO	2
I.3. INTERLICAÇÃO ENTRE AS ÁREAS DO PROJETO DE UM RECIPIENTE PARA TRANSPORTE DE ELEMENTOS COMBUSTÍVEIS IRRADIADOS	5
I.4. DISSIPAÇÃO DE CALOR POR UM RECIPIENTE PARA TRANSPORTE DE ELEMENTOS COMBUSTÍVEIS IRRADIADOS	6

PARTE II - REFECCI EM ESTUDO

II.1. ORIGEM E FINALIDADE DO TRABALHO.....	9
II.2. ASPECTOS TÉRMICOS ABORDADOS NESTE TRABALHO	10

PARTE III - ESTUDO DOS MECANISMOS DE TRANSFERÊNCIA DE CALOR

III.1. OPÇÕES PARA O TRATAMENTO DO PROBLEMA	12
III.2. TERMOSIFONAMENTO	13
III.3. EQUACIONAMENTO GERAL DO PROBLEMA	14

PARTE IV - PARTE EXPERIMENTAL

IV.1. GENERALIDADES	19
IV.2. RELAÇÕES DE ANALOGIA ENTRE OS SISTEMAS ELÉTRICO E TÉRMICO	20
IV.3. DETERMINAÇÃO DA CONDUTIVIDADE TÉRMICA EFETIVA PARA SE UTILIZAR NA EXPERIÊNCIA ANALÓGICA	22
IV.4. APARELHO SIMULADOR	26
IV.5. OBTENÇÃO DAS RESISTÊNCIAS TÉRMICAS À DISSIPAÇÃO DO CALOR PELA SUPERFÍCIE DO RECIPIENTE	27
IV.6. SEQUÊNCIA DE OPERAÇÕES NA EXPERIÊNCIA	31

pág.

IV.7. RESULTADOS OBTIDOS	32
IV.8. CONCLUSÕES	33
ANEXO A - PERDAS DE CARGA	35
ANEXO B - DEDUÇÃO DAS FÓRMULAS IV-11 e IV-16	39
ANEXO C - CORREÇÕES A SEREM FEITAS SÔBRE OS DADOS EXPERIMENTAIS	43
ANEXO D - DETERMINAÇÃO DA RESISTIVIDADE DA SOLUÇÃO ELETROLÍTICA	45
ANEXO E - OBTENÇÃO DA FÓRMULA IV-24	47
NOMENCLATURA	
BIBLIOGRAFIA	

GENERALIDADES SOBRE ASPECTOS PARA TRANSPORTE

DE CARGAS DE SUBSTÂNCIAS RADIAKTIVAS

X.1. INTRODUÇÃO

X.2. NOÇÕES GERAIS SOBRE TRANSPORTE DE MATERIAL IRRADIADO

X.3. INTERPRETAÇÃO ENTRE AS ÁREAS DE PROTEÇÃO DO INICÍPIO PARA
TRANSPORTE DE MATERIAIS RADIAKTIVOS INDIVIDUAIS

X.4. DISPOSIÇÃO NO SALÃO PARA O TRANSPORTE DE MATERIAIS
RADIAKTIVOS INDIVIDUAIS

III. INTRODUÇÃO

Durante o funcionamento dos reatores de potência e combustíveis nuclear passa por uma série de transformações que implicam na sua substituição muito antes dos materiais fissionáveis terem sido totalmente consumidos. Em primeiro lugar, o acúmulo dos produtos de fissão que atuam como venenos do meio e o enobreecimento de isotópos fissionáveis - U233, U235 ou Pu-239 - podem decrescer a reatividade a tal ponto que as exigências operacionais do reator não são mais satisfeitas. Além de mais, as variações das dimensões, forma e propriedades mecânicas que ocorrem devido à exposição contínua e à acumulação dos produtos de fissão limitam o tempo de permanência do combustível no reator. Finalmente, circunstâncias acidentais, tais como ruptura da blindagem, faihas na solda, "burnout", corrosão etc, tornam necessária a reposição do combustível. Entretanto, qualquer que tenha sido a causa da sua retirada do reator, o combustível ainda contém uma considerável quantidade de isotópos fissionáveis e freqüentemente de espécies férteis, devendo, portanto, sofrer reprocessamento a fim de se recuperar de maneira a mais econômica estes materiais valiosos para serem reutilizados em reatores ou outros propósitos nucleares [1].

Uma vez que nem todos os países possuem usinas de reprocessamento e mesmo aqueles que os possuem não as têm na proximidade das centrais nucleares, surge a necessidade de transporte desses elementos combustíveis irradiados, providenciando que, além da adequação dos recipientes, exige especiais cuidados, uma vez que o decaimento radioativo posterior à sua retirada do reator e consequente resfriamento em piscinas apropriadas produz não só calor, mas também radiações. Para tanto existem recipientes apropriados, construídos segundo certas normas internacionais e designados por recipientes para transporte de elementos combustíveis irradiados, e que, para maior simplicidade, neste trabalho serão abreviados por R/T/ECT.

Esses recipientes mostrados nas figuras 1, 2 e 3 [2], [3] são perfeitamente estanques e devem permitir a dissipação de calor gerado em seu interior e blindar convenientemente os elementos combustíveis. A blindagem deve ser tal que impeça que o público seja exposto a níveis perigosos de radiação [4] e a dissipação de calor deve ser tal que não impeça o seu manuseio.

Basicamente, é um recipiente cilíndrico, feito, vedado nas extremidades, uma das quais com tampa removível. Possui uma blindagem constituída por um elemento pesado, como, por exemplo, o chumbo, contida por duas paredes cilíndricas em aço, como mostrado nas figuras 2 e 3.

A superfície externa é aletada para maior retirada de calor e conferir-lhe maior resistência em casos de choques nucleares (por exemplo, quedas). Por isso suas aletas são do tipo mais robusto, ou seja, de perfil retangular. Internamente são dotados de um engradamento metálico como mostra a figura 2, onde os elementos combustíveis são alojados como em células. As paredes que constituem o engradamento têm como finalidade adicional oferecer um outro caminho à transferência de calor para o exterior.

Os RETECI's podem ser dispostos com seu eixo longitudinal em posição horizontal ou vertical como mostra a figura 1 e suas aletas podem ser circulares ou longitudinais, como mostram as figuras 1, 2 e 3.

1.2. NOVAS

O transporte de elementos combustíveis gastos, de reatores de potência, é governado por regulamentos do "Department of Transportation" (DOT), e da U. S. Atomic Energy Commission. O objetivo principal destes regulamentos é, naturalmente, proteger o público, restringindo rigorosamente

mente a quantidade de radiação e contaminação a que Ele ficará exposto [4].

De acordo com esta filosofia, o "United States Department of Transportation" dividiu o material radioativo em sete grupos, conforme figuras 4 e 5, levando em consideração o grau de radioatividade do isótopo de interesse e dividiu as embalagens para transporte nos tipos A e B [4].

Pequenas quantidades de material mais tóxico e grandes quantidades de material menos tóxico podem ser transportados no mesmo tipo de embalagem.

As embalagens do tipo A são limitadas para pequenas quantidades de material radioativo que, se se desprendessem no caso de destruição da embalagem, não causariam consequências catastróficas [4].

Os tipos B se destinam ao transporte de maiores quantidades de material radioativo e são projetados para contê-lo sob condições acidentais hipotéticas durante o transporte.

A tabela da figura 7 serve para determinar o tipo de embalagem em função do grupo isotópico.

Quantidades de material radioativo maiores que as especificadas para o tipo B devem ser transportadas em embalagens especialmente aprovadas pela USABC e pelo Department of Transportation.

As tabelas das figuras 4, 5 e 6 podem ser usadas para classificar o material radioativo.

mente a quantidade de radiação e contaminação a que Ele ficará exposto [4].

De acordo com esta filosofia, o "United States Department of Transportation" dividiu o material radioativo em sete grupos, conforme figuras 4 e 5, levando em consideração o grau de radioatividade do isótopo de interesse e dividiu as embalagens para transporte nos tipos A e B [4].

Pequenas quantidades de material mais tóxico e grandes quantidades de material menos tóxico podem ser transportados no mesmo tipo de embalagem.

As embalagens do tipo A são limitadas para pequenas quantidades de material radioativo que, se se desprendessem no caso de destruição da embalagem, não causariam consequências catastróficas [4].

Os tipos B se destinam ao transporte de maiores quantidades de material radioativo e são projetados para contê-lo sob condições acidentais hipotéticas durante o transporte.

A tabela da figura 7 serve para determinar o tipo de embalagem em função do grupo isotópico.

Quantidades de material radioativo maiores que as especificadas para o tipo B devem ser transportadas em embalagens especialmente aprovadas pela USABC e pelo Department of Transportation.

As tabelas das figuras 4, 5 e 6 podem ser usadas para classificar o material radioativo.

Dentre as normas existentes, citam-se as mais importantes, sendo que as que interessam mais diretamente são as normas térmicas.

Normas quanto à integridade de contenção e blindagem [4]

- i) Teste de impacto no qual o recipiente é deixado cair de uma altura de 9 m sobre uma placa indeformável sem que haja desprendimento do produto de seu interior
- ii) Teste de penetração no qual é largado de 1 m de altura sobre uma barra de 15 cm de diâmetro por 20 cm de comprimento de aço doce. O eixo longitudinal da barra deve ser perpendicular à superfície da embalagem, no instante do impacto [4].
- iii) Teste de compressão, no qual deve suportar 5 vezes seu próprio peso, uniformemente distribuído sobre a área total do recipiente.
- iv) Teste de imersão, para demonstrar que o recipiente é à prova de vazamento a uma profundidade de 15 m de água.
- v) Teste térmico no qual, imediatamente após os testes de impacto e penetração, o recipiente deve suportar uma temperatura de 800°C durante 30 minutos, na superfície. Isso simula um caso de acidente por fogo.

Normas térmicas

- i) A temperatura máxima externa não deve ser superior a 82°C em condições normais de operação (DOT). Este limite especificado pela AIEA é de 50°C, podendo atingir 82°C sob condições de plena carga [6].
- ii) Durante o tempo de simulação de acidente por fogo as temperaturas atingidas pelos elementos combustíveis não devem comprometer a sua integridade.

TAB. INTERAÇAO ENTRE AS ÁREAS DE PROJETO DE UM REACTOR

No projeto de um recipiente, quatro áreas principais de interesse devem ser integradas. São elas: contenção, prevenção da criticidade, blindagem e remoção de calor. É impossível isolar completamente cada área das outras três porque há partes que se interpenetram, sendo que os parâmetros de um aspecto não podem ser otimizados sem levar em consideração os outros. Por exemplo, uma blindagem de coroa excessiva pode ser ideal do ponto de vista da transferência de calor, mas pode não manter a taxa de radiação abaixo do nível permitível. Assim, "cada decisão feita deve ser vista à luz do seu efeito global sobre as exigências básicas do cálculo" [7].

Vejamos, resumidamente, como estas áreas de cálculo estão interligadas [7].

BLINDAGEM

A exposição das paredes de material usado como blindagem biológica para atenuar a radiação constitui uma barreira à condução do calor. Acrescenta-se a isto quaisquer vazios ou maus contactos entre as superfícies de chumbo e do aço que oriam resistências térmicas provocando temperaturas internas mais altas. Deve-se também considerar as tensões que o recipiente deve suportar se o chumbo derreter e se expandir imediatamente por fogo (*).

CONTENÇÃO

O uso de uma estrutura para proteção em casos de queda oferece uma resistência adicional à dissipação de calor se o recipiente deve permanecer sob condições naturais na atmosfera. A exposição das paredes

(*) casos previstos por normas

de aço para prover resistência à penetração também oferece resistência à transferência de calor.

Em contraste, o uso de aletas – além de incrementar o coeficiente global de transferência de calor – provém, para o conjunto, integridade estrutural, aumentando a rigidez e auxiliando na absorção de choques.

PREVENÇÃO DE CRITICALIDADE

Para transporte de grandes quantidades de combustível irradiado, torna-se necessário, em alguns casos, construir dentro do recipiente ou em um de seus componentes um absorvedor de neutrons cuja fusão não deve ocorrer nem mesmo durante um acidente por fogo (*). A localização e configuração do absorvedor é importante se ele representar de algum modo uma barreira à transmissão de calor entre o elemento combustível e a atmosfera.

1.4. DISSIPACÃO DE CALOR POR UM RETECI

Sob o ponto de vista puramente térmico, a função de um RETECI é a de dissipar o calor gerado pelos elementos combustíveis nele contidos.

Descritivamente, pode-se dizer que o percurso do calor é o seguinte:

1. Condução de calor no interior do próprio elemento combustível
2. Tranmissão de calor entre os elementos combustíveis e a parede in-

(*) caso previsto por norma.

terna do recipiente. Isso ocorre de três maneiras diferentes:

- i) radiação entre os elementos combustíveis e as paredes do engradamento
 - ii) condução de calor pelo engradamento
 - iii) convecção ao fluido, submetido a termosifonamento no interior do RETECI
3. Condução de calor pela blindagem
 4. Dissipação de calor ao meio ambiente. Este calor é constituído de duas parcelas, a primeira proveniente do calor gerado pelos elementos combustíveis e a segunda proveniente do calor solar, resultante da absorção parcial dos raios solares incidentes sobre a superfície externa do RETECI.

Os gradientes de temperatura originam tensões térmicas no interior dos diversos componentes do recipiente, principalmente tendo-se em vista que materiais diferentes com diferentes coeficientes de expansão entram na sua confecção. Naturalmente a sua consideração num projeto é importante, mas não serão abordadas neste trabalho por se tratar de problemas tipicamente de mecânica pura [8].

P A R T E I I

RETECI EM ESTUDO

II.1. ORIGEM E FINALIDADE DO TRABALHO

II.2. ASPECTOS TÉCNICOS ABORDADOS NESTE TRABALHO

III.1. ORIGEM E FINALIDADE DO TRABALHO

Este trabalho se destina a servir de base para um futuro projeto de um RETECI com algumas modificações e/ou expansões.

Como os problemas térmicos estudados são inerentes à maior parte de tais recipientes, a escolha de um tipo para efeito de estudo poderia ter sido aleatória. A escolha de um recipiente de dimensões mostradas na figura 8 se deveu ao fato de este tipo poder transportar elementos combustíveis de qualquer reator de pesquisa brasileiro atual, TRIGA, ARGONAUTA ou IEAR-1.

Dessa forma, o estudo não é, pois, específico, visando o transporte de um tipo particular de elemento combustível.

As dimensões internas do recipiente foram ditadas pelas dimensões do elemento combustível mostrado na figura 9 [9], bastante semelhantes aos do reator de São Paulo, cuja escolha se deveu ao fato de, no início, não se ter em mãos fotografias e desenhos do elemento combustível de São Paulo que, por ser o maior dos três reatores, foi escolhido como referência para o dimensionamento da cavidade interna do recipiente, capaz de alojar nove elementos combustíveis.

Durante o transporte, esta cavidade deverá conter um fluido que servirá como meio eficaz de transferência de calor do elemento combustível às paredes do recipiente.

Tendo em vista o elemento combustível escolhido, e por comparação com as dimensões de recipientes para transporte de outros elementos combustíveis, chegou-se à conclusão sobre as dimensões do recipiente, mostradas na figura 8.

Uma vez definidas as dimensões internas, as dimensões externas devem ser dimensionadas.
~~devem ser dimensionadas~~ em função da espessura da blindagem. Como o cálculo desta espessura não foi concluído no IPP, fixou-se esta em 22 cm, por comparação com recipientes existentes [2].

III.2. ASPECTOS TÉRMICOS ABORDADOS NESTE TRABALHO

Neste trabalho são estudados os seguintes aspectos:

1. Remoção de calor dos elementos combustíveis por termosifonamento
2. Condução de calor pela blindagem
3. Dissipação de calor para o meio ambiente, que se dá por convecção e radiação.

Não será abordada a condução de calor através do engradamento por condução e nem a radiação entre os elementos combustíveis e as paredes internas. Este estudo é importante para o projeto de um RETECI, mas não se justifica nesta tese, pois além de ultrapassar o interesse da mesma, tal estudo deveria levar em conta as dimensões reais dos elementos combustíveis, o que não se tem em mãos.

Assim, o trabalho torna-se mais generalizado, pois o termosifonamento, aspecto estudado com maior ênfase, é também o processo de transmissão de calor em outros equipamentos tais como radiadores e transformadores.

- 11 -

P A R T E I X I

ESTUDO DOS MECANISMOS DE TRANSFERÊNCIA DE CALOR

- III.1. OPÇÕES PARA O TRATAMENTO DO PROBLEMA
- III.2. TERMOSIFONAMENTO
- III.3. EQUACIONAMENTO GERAL DO PROBLEMA

III.1. OPÇÕES PARA O TRATAMENTO DO PROBLEMA

O calor dissipado pela superfície externa de um REURVI se origina de duas fontes: o calor gerado no interior do recipiente devido ao desgaste do combustível irradiado e o calor solar, resultante da parcial absorção dos raios solares incidentes sobre a superfície, como ilustrado na figura 10.

O problema pode ser tratado por três formas distintas:

1. Tratamento puramente analítico

Procura-se traduzir em correlações matemáticas os vários fenômenos envolvidos. Não se adotou esta orientação porque o tratamento matemático seria exaustivo e, mesmo assim, dever-se-ia tomar muitos valores empíricos que, além de não se ter em mãos atualmente, resultariam num certo grau de incerteza das correlações obtidas.

2. Tratamento teórico-experimental

Escolheu-se este, tendo-se em vista que é interessante um desenvolvimento matemático complementado com dados experimentais. Esse tratamento é o mais simples, pois traduz em correlações matemáticas os fenômenos mais simples e precisos, sendo que os parâmetros que para sua obtenção necessitariam de complexo desenvolvimento matemático foram obtidos por uma experiência de simulação relativamente simples e precisa.

3. Tratamento puramente experimental

Com a adoção dessa orientação, todos os fenômenos térmicos envolvidos seriam tratados experimentalmente, desde os mais simples — para os quais existem correlações já largamente utilizadas e que dão resultados confiáveis — aos mais complexos. Por isso não se ado-

tou tal processo, que poderia ser justificável se se tratasse de estudar um tipo de recipiente para um projeto completamente especificado, o que não é o caso deste trabalho, de cunho um pouco mais generalizado.

III.2. TERMOSIFONAMENTO

A água envolvendo os elementos combustíveis tem sua temperatura aumentada enquanto que a água nos canais externos, em contato com as paredes internas do recipiente, cede o calor ao corpo do recipiente. Como estas canais estão ligados em circuito fechado, surge uma circulação de água devida unicamente às diferenças de densidades da mesma entre estes canais (termosifonamento), como mostra a figura 11.

O mecanismo de retirada e transferência de calor pode ser descrito da forma seguinte:

Primeiramente há transmissão de calor no interior do elemento combustível que, ao atingir a superfície, é absorvido pela água em circulação com uma vazão \dot{m} e também é transmitido por radiação às paredes do engadamento, e deste por condução às paredes internas do recipiente. Todo o calor que aí chega flui por condução pela blindagem para a parte externa e, daí, para o meio ambiente, por convecção e radiação.

III.3. EQUACIONAMENTO DO PROBLEMA

i) Aspecto Térmico

O calor retirado dos elementos combustíveis pela vazão nos canais ascendentes provoca um aumento de temperatura na água, calculado pela equação

$$T_f - T_q = \frac{\dot{Q}_g}{C_p \cdot \dot{m}} \quad (\text{III-1})$$

onde

T_f é a temperatura máxima interna

T_q é a temperatura mínima interna

\dot{Q}_g é a taxa de geração de calor

C_p é o calor específico da água

\dot{m} é a vazão da água

A partir do ponto I (ver figura II), a água começa a ceder calor às paredes internas do recipiente.

Em regime estacionário o calor gerado no interior dos elementos combustíveis deve ser integralmente transmitido a estas paredes, ou seja, o aumento de temperatura da água no ralo ascendente deve ser numericamente igual ao abaixamento de temperatura no ralo descendente.

Se \dot{Q}_{IA} é a taxa de absorção de calor por unidade de área pela superfície interna do recipiente, o valor de $\int_A \frac{dQ}{dA} dA$, integrado em toda a superfície interna fornece o valor global do calor absor-

vida por este.

Sendo $\frac{dQ}{dA}$ função da posição e do campo de temperaturas T_i :

$$\frac{dQ}{dA} = \Phi(T_i, z) \quad (\text{III-2})$$

Então, a equação (1) se transforma em:

$$T_f - T_0 = \frac{1}{\Phi \cdot u} \int_A \Phi(T_i, z) dA \quad (\text{III-3})$$

O valor da integral da equação (III-3) foi obtido experimentalmente, subdividindo-a em três parcelas - Ψ_s , Ψ_l e Ψ_i , referentes à parte superior, lateral e inferior da superfície interna do recipiente.

As experiências explicadas na parte IV do trabalho, deram o valor integrado do fluxo de calor para as regiões, em função das temperaturas internas T_{si} e T_{li} (temperaturas médias na região superior e lateral da água em termosifonamento).

Agora, a integral se transforma em:

$$\int_A \Phi(T_i, z) dA = \Psi_s(T_{si}, T_{li}) + \Psi_l(T_{si}, T_{li}) + \Psi_i(T_{si}, T_{li}) \quad (\text{III-4})$$

ii) Aspecto Hidráulico

O objetivo é determinar o valor da vazão da água em termosifonamento em função da carga térmica do recipiente.

A força motriz ou ascensional do termosifonamento é proveniente das diferenças de densidade média nos ramos ascendente e descendente, e é calculada pela fórmula:

$$F_m = \left[\int \rho_d(z) dz - \int \rho_a(z) dz \right] \times g \quad (\text{III-5})$$

onde

ρ_d é a densidade média da água no ramo descendente

ρ_a é a densidade média da água no ramo ascendente

devendo ser numericamente igual às perdas de carga devidas ao atrito através dos canais e perdas de cargas localizadas tais como expansão, contração e mudanças de direção. Essas perdas são calculadas no Anexo II.

Interligação das duas partes

Uma vez que o campo de temperaturas no interior do recipiente é determinado pela vazão e esta é dependente do campo de temperaturas, os valores finais de vazão, das funções $\Psi_i(T_{s,i}, T_{c,i})$ e do campo de temperatura são obtidos após algumas reiterações.

O cálculo manual seria extremamente trabalhoso. O processo adotado foi o de elaborar uma programação para computador digital.

As etapas do cálculo são as enumeradas abaixo e cujo diagrama de bloco é mostrado na figura 17, e cuja listagem se encontra nas páginas 51 a 59.

1. Arbitra-se um valor para a vazão W_1 e para a temperatura máxima da água T_1 .
2. Obtem-se os campos de temperaturas e os valores das funções $\Psi_i(T_1, p_1)$
3. Com o campo de temperaturas assim determinado, verifica-se a força ascendencial é exatamente igual às perdas de carga. Caso afirmativo, o programa está terminado. Caso contrário, é arbitra-se outro valor para a vazão em função da qual outro campo de temperatura e os valores das funções $\Psi_i(T_1, p_1)$ são encontrados. Fazer a mesma verificação e se o programa não fechar, a partir desse ponto os valores da vazão são determinados através da equação de uma reta tendo como ordenada a diferença entre as perdas de carga e a força ascendencial e, como abcissa, a vazão. Para uma diferença nula entre as perdas de carga e a força ascendencial, determina-se o novo valor da vazão e se repetem os cálculos.

P A R T E I V

- IV.1. GENERALIDADES
- IV.2. RELAÇÕES DE ANALOGIA ENTRE OS SISTEMAS ELÉTRICO E TÉRMICO
- IV.3. DETERMINAÇÃO DA CONDUTIVIDADE TÉRMICA EFETIVA PARA SE UTILIZAR NA EXPERIÊNCIA ANALÓGICA
- IV.4. APARELHO SIMULADOR
- IV.5. OBTENÇÃO DAS RESISTÊNCIAS TÉRMICAS À DISSIPAÇÃO DO CALOR PELA SUPERFÍCIE DO RECIPIENTE
- IV.6. SEQUÊNCIA DE OPERAÇÕES NA EXPERIÊNCIA

IV.1. GENERALIDADES

Quando dois fenômenos obedecem equações matemáticas semelhantes - dito fenômenos análogos - é possível estudar um deles transpondo os resultados ou concluindo o que se quer para o outro através de relações analógicas que ligam os dois [10].

Isto significa que a equação de descrição do comportamento de um sistema pode ser utilizada em outro sistema, simplesmente pela mudança das variáveis. Por exemplo, o fluxo de calor através de uma resistência térmica é análogo ao fluxo de corrente em uma resistência elétrica porque ambos os tipos de fluxo obedecem a equações semelhantes. Se substituirmos, na equação de fluxo de calor $\dot{Q} = \frac{\Delta T}{R_t}$ o símbolo de potencial de temperatura T pelo de potencial elétrico V , e o símbolo de resistência térmica R_t pelo da resistência elétrica R_e obtemos a equação para a corrente:

$$I = \frac{\Delta V}{R_e}$$

Assim, tendo-se de determinar fluxos de calor e as distribuições de temperatura em um recipiente cilíndrico de parede espessa, dentro do qual há geração de calor, pode-se estudar um caso mais simples através de uma analogia - no caso a analogia elétrica - onde se mede potencial em lugar de temperatura, corrente em lugar de calor e resistência elétrica em lugar de resistência térmica.

O estudo do problema fica assim grandemente simplificado uma vez que as medidas elétricas são mais fáceis de serem feitas sem carregarem consigo erros de incerteza tais como aconteceria no posicionamento ou colocação de termo-paros para medir temperaturas, e nem contar com

problemas inerentes à medida de fluxo de calor, extremamente difíceis de serem realizadas.

IV.2. RELACIONES DE ANALOGIA ENTRE OS SISTEMAS ELÉTRICO E TÉRMICO

Quer-se simular a condução de calor através do corpo cilíndrico maciço da figura 12.A por uma analogia elétrica. Utilizando um modelo de certo material de resistividade σ conhecida, e na escala λ conforme figura 12.B as relações analógicas são deduzidas da forma que se segue:

O fluxo total de calor \dot{Q} , através do corpo da figura 12.A é dado por:

$$\dot{Q} = KA \frac{\Delta T}{\Delta L} \quad (\text{IV-1})$$

onde

A é a área transversal do corpo

ΔT é a diferença de temperatura entre as extremidades

ΔL é o comprimento do corpo.

A corrente elétrica I que atravessa o modelo é dado pela relação:

$$I = \frac{A_m \times \Delta V}{\sigma \times \Delta L_m} \quad (\text{IV-2})$$

onde:

A_m é a área transversal do modelo

.yr. V é a diferença de voltagem entre os extremos do modelo

A_m é a área transversal do modelo

ΔV é a diferença de voltagem entre os extremos do modelo

ρ é a resistividade do modelo

ΔL_m é o comprimento do modelo.

Dividindo-se a equação (1) pela equação (2) tem-se

$$\frac{Q}{I} = \rho_k \left(\frac{A \times \Delta L_m}{A_m \times \Delta L} \right) \frac{\Delta T}{\Delta V} \quad (\text{IV-3})$$

Fazendo

$$\frac{Q}{I} = \rho \quad (\text{IV-4})$$

$$\frac{\Delta T}{\Delta V} = \delta \quad (\text{IV-5})$$

e notando que

$$\frac{A \times \Delta L_m}{A_m \times \Delta L} = \lambda \quad (\text{IV-6})$$

vem

$$\rho = \rho_k \lambda \delta \quad (\text{IV-7})$$

As resistências térmica e elétrica podem ser postas sob as formas:

$$R_t = \frac{\Delta T}{Q} \quad (\text{IV-8})$$

$$R_e = \frac{\Delta V}{i} \quad (\text{IV-9})$$

Dividindo a equação (8) pela equação (9), vemos:

$$\frac{R_t}{R_e} = \frac{\Delta T \cdot i}{\Delta V \cdot \dot{Q}} = \frac{\beta}{\sigma}$$

ou

$$R_t = \frac{\beta}{\sigma} \times R_e \quad (\text{IV-10})$$

O quadro abaixo sintetiza as relações analógicas:

QUADRO IV.1

CASO REAL	CASO ANALÓGICO	RELAÇÃO
Diferença de temperatura (ΔT)	Diferença de potencial (ΔV)	$\Delta T = \beta \cdot \Delta V$
Fluxo de calor (\dot{Q})	Corrente elétrica (i)	$\dot{Q} = \beta \cdot i$
Resistência térmica (R_t)	Resistência elétrica (R_e)	$R_t = (\beta/\beta) R_e$
Condutividade térmica (k)	Condutividade elétrica (γ_s)	$k_s = \beta/\lambda \beta$

IV-3. DETERMINAÇÃO DA CONDUTIVIDADE TÉRMICA EFETIVA PARA SE UTILIZAR NA EXPERIÊNCIA ANALÓGICA

Como nas relações analógicas comparece o valor da condutividade térmica k do material do recipiente e como no caso em foco materiais diferentes com diferentes condutividades térmicas estão presentes, sua

ge a necessidade de se calcular um valor efetivo para a condutividade térmica, tal que mantidas as mesmas condições permite a passagem do mesmo fluxo de calor.

Considerou-se dois casos:

1. Calculou-se coeficiente efetivo para a parte superior do recipiente, a qual compreende um tronco de cone sendo o raio menor igual ao raio interno do recipiente e o raio maior igual ao raio externo. Ver figura 24.
2. Calculou-se um coeficiente efetivo para a parte lateral, a qual corresponde o restante do recipiente quando se retiram os dois troncos de cone, o superior e o inferior, conforme mostra a figura 24.

PARTE SUPERIOR

A fórmula deduzida no Anexo B para a resistência térmica oferecida pela blindagem superior quando três materiais diferentes estão presentes é a seguinte:

$$R_{ts_1} = \frac{2}{\pi} \sum_{i=1}^3 \frac{s_i}{k_i} \frac{b_i - b_{i-1}}{(\alpha(L_i + B_i)(\alpha b_{i-1} + B_i))} \quad (\text{IV-11})$$

onde (Ver figura 24 para definição de algumas dimensões)

k_i é o coeficiente de condutividade térmica dos materiais presentes

α é o coeficiente angular da reta B_1B_4 .

Para um recipiente com as mesmas dimensões e a mesma diferença de temperatura entre as superfícies interna e externa, mas construído de apenas um material, ela se reduz à seguinte:

$$R_{ts2} = \frac{l}{\pi k_{efs}} \frac{b_3}{(\alpha b_3 + B_1) B_1} \quad (\text{IV-12})$$

onde

k_{efs} é o coeficiente de condutividade efetiva para a parte superior

Ver figura 24 para definição das outras dimensões.

Naturalmente que

$$R_{ts1} = R_{ts2} \quad (\text{IV-13})$$

tendo-se então

$$k_{efs} = \frac{b_f}{(\alpha b_3 + B_1) B_1} \frac{l}{\sum_{i=1}^3 \frac{1}{k_i} \frac{b_i - b_{i+1}}{(\alpha b_i + B_1)(\alpha b_{i+1} + B_1)}} \quad (\text{IV-14})$$

O valor obtido para k_{efs} é igual a

$$k_{efs} = 0,0744 \quad (\text{IV-15})$$

PARTE LATERAL

A fórmula deduzida no Anexo B para a resistência térmica oferecida pela blindagem quando diferentes materiais estão presentes é a seguinte:

$$R_{tl_1} = \frac{1}{2\pi h_0} \sum_{i=1}^3 \frac{1}{k_i} \left(\ln\left(\frac{r_i}{r_{i-1}}\right) - \ln\left(\frac{B_i}{B_{i-1}}\right) \right) \quad (\text{IV-16})$$

onde

$$L_0 = 2 B_0$$

k_i = coeficiente de condutividade térmica dos materiais presentes.

Ver figura 24 para definição de algumas dimensões.

Mantidas as mesmas condições para um recipiente feito de um único material a fórmula IV. 16 se reduz à seguinte:

$$R_{tl_2} = \frac{1}{2\pi h_0 k_{efl}} \left(\ln\left(\frac{r_2}{r_1}\right) - \ln\left(\frac{B_2}{B_1}\right) \right) \quad (\text{IV-17})$$

Pondo-se

$$R_{tl_1} = R_{tl_2} \quad (\text{IV-18})$$

tem-se que

$$k_{efl} = \frac{\ln\left(\frac{r_2}{r_1}\right) - \ln\left(\frac{B_2}{B_1}\right)}{\sum_{i=1}^3 \frac{1}{k_i} \left(\ln\left(\frac{r_i}{r_{i-1}}\right) - \ln\left(\frac{B_i}{B_{i-1}}\right) \right)} \quad (\text{IV-19})$$

O valor calculado para k_{efl} é igual a

$$k_{efl} = 0,07 \quad (\text{IV-20})$$

IV.4. APARELHO SIMULADOR

A simulação elétrica da transmissão de calor pelo RETECI foi realizada por um aparelho mostrado na figura 14.

O aparelho reproduz apenas um setor de 15° do recipiente completo em escala 1:2. Esta representação parcial é válida, uma vez que não há intercâmbio de calor entre os setores do recipiente. No anexo 2 encontram-se as correções a serem feitas nas medidas das experiências para se extrapolar os valores ao recipiente inteiro.

As faces laterais interna e externa são realizadas análogicamente por placas curvas de cobre e as faces superior e inferior, internas e externas, por placas planas do mesmo material. A resistência térmica da blindagem é simulada por uma solução eletrolítica cuja resistividade é calculada no Anexo D, e para as resistências térmicas das interfaces recipiente/ar são utilizadas resistências variáveis.

O objetivo do aparelho é medir o valor dos fluxos de calor através das paredes internas do recipiente, ou seja, o levantamento das funções $\psi_i(T_s; T_{fl_i})$ definidas na parte II do trabalho.

IV.5. OBTENÇÃO DAS RESISTÊNCIAS TÉRMICAS À DISSIPACÃO DO CALOR PELA SUPERFÍCIE DO RECIPIENTE

Fixou-se, desde o inicio, o formato, dimensões, número de aletas e material utilizado na sua construção. Para a superfície aletada do recipiente foram computadas as resistências térmicas para o calor dissipado por convecção (R_{tc}) e radiação (R_{tr}), que são agrupadas para dar uma resistência térmica total R_{tf} .

RADIAÇÃO

Foi considerado como área de transferência de calor por radiação pelas paredes laterais A_{lr} a área da envoltória do recipiente aletado (ver figura 13)

$$A_{lr} = \pi (D + 2\ell) L \quad (\text{IV-21})$$

onde

D é o diâmetro externo do recipiente

ℓ é a largura das aletas

L é a altura do recipiente.

Desde que para recipientes aletados os lados não são considerados radiadores com cavidades (cavity-type radiators) uma emissividade efetiva ξ pode ser calculada pela fórmula [4]

$$\xi = \frac{1}{1 + \frac{\varepsilon}{5} \left(\frac{1}{\xi_a} - 1 \right)} \quad (\text{IV-22})$$

onde

ξ_a é a emissividade do recipiente e aletas

s é a distância média entre aletas, face a face

S é definido como

$$S = s + \omega l \quad (\text{IV-23})$$

O coeficiente de transmissão de calor por radiação h_r é calculado pela fórmula

$$h_r = \frac{0.7 \times 10^{-4}}{T_{ex} - T_{ar}} \left\{ \left(\frac{T_{ex}}{100} \right)^4 - \left(\frac{T_{ar}}{100} \right)^4 \right\} \frac{\text{cal}}{\text{seg. cm}^2} \quad (\text{IV-24})$$

e anexo E

onde

T_{ex} é a temperatura externa do recipiente em graus Kelvin

T_{ar} é a temperatura do ambiente em graus Kelvin

O fluxo de calor por radiação \dot{Q}_r é dado pela fórmula

$$\dot{Q}_r = h_r A_r (T_{ex} - T_{ar})$$

ou

$$\dot{Q}_r = \frac{T_{ex} - T_{ar}}{R_{tr}} \quad (\text{IV-25})$$

onde A_r é a área de radiação em cm^2

R_{tr} é a resistência térmica à radiação dada por:

$$R_{tr} = \frac{l}{h_r \cdot A_r} \quad (\text{IV-26})$$

CONVEÇÃO

O calor dissipado por convecção \dot{Q}_c é dado pela fórmula:

$$\dot{Q}_c = h_c A_c (T_{ex} - T_{ar}) \quad \text{ou}$$

$$\dot{Q}_c = \frac{T_{ex} - T_{ar}}{R_{tc}} \quad (\text{IV-27})$$

onde

h_c é o coeficiente de transmissão por convecção calculado pela fórmula

$$h_c = 0,312 \times 10^{-4} (T_{ex} - T_{ar})^{1/3} \quad | \text{unidade} \in (\text{IV-28})$$

A_c é a área de convecção

R_{tc} é resistência térmica à convecção dada por

$$R_{tc} = \frac{1}{h_c A_c}$$

Como se trata de recipiente aletado a área de convecção A_c é dada por [2]

$$A_c = \pi D L + m \gamma_0 b + 2 \ell m b' \eta \quad (\text{IV-29})$$

onde

m é o número de aletas

γ_0 é a espessura das aletas

L' é a altura das aletas

η é a (eficiência) das aletas

b é a altura do recipiente.

A eficiência η da aleta é dada pela expressão

$$\eta = \frac{\tanh(b)}{b} \quad (\text{IV-30})$$

.yfr.

onde

b é o parâmetro da aleta dado por

$$b = \ell \sqrt{\frac{\alpha h_c}{K \gamma_0}} \quad (IV-31) \quad 121$$

onde

γ_0 é a espessura das aletas

ℓ é a largura das aletas

K é a condutividade térmica das aletas

h_c é o coeficiente convectivo da transmissão de calor da superfície.

Baseado nos gráficos das figuras 15 e 16, faz-se uma subrotina cuja listagem é mostrada na página 62 designada por subrotina REND, na qual o valor de entrada é o coeficiente de transmissão por conveção e o valor de saída para o aço 304-SS.

Como visto, a área efetiva de transferência de calor por convecção depende da eficiência das das aletas γ , que, por sua vez, depende do coeficiente convectivo de transferência de calor h_c .

A resistência térmica total pode ser calculada da seguinte forma: o calor dissipado por convecção \dot{Q}_c e por radiação \dot{Q}_r são dados pelas expressões

$$\dot{Q}_c = h_{ex} A_c \times \Delta T$$

$$\dot{Q}_r = h_r \times A_r \times \Delta T$$

onde

ΔT é a diferença de temperatura entre o recipiente e o ambiente

O calor total dissipado é igual à soma do calor dissipado por radiação e por convecção.

$$\dot{Q}_t = \Delta T (A_c \cdot h_c + A_n \cdot h_n)$$

$$\dot{Q}_t = \frac{\Delta T}{\frac{1}{A_c h_c + A_n h_n}} \quad (\text{IV-32})$$

A resistência térmica total R_{tt} à dissipação do calor pela superfície do recipiente é dada por:

$$R_{tt} = \frac{1}{A_c h_c + A_n h_n} \quad (\text{IV-33})$$

Faz-se dois programas de computador que utilizam a subrotina REND e que estão listados nas páginas 60 e 61 para calcular as resistências térmicas totais, das superfícies superior e lateral do recipiente, respectivamente, obtendo-se os gráficos das figuras 18 e 19. Em função destes obtém-se dois outros mostrados nas figuras 20 e 21, aplicando as relações analógicas deduzidas na parte IV.2 e cuja finalidade é evidenciada na parte IV.5.

IV.5. SEQUÊNCIA DE OPERAÇÕES NA EXPERIÊNCIA

A determinação experimental das funções $\Psi_i(t_i; T_i)$ e do campo de temperaturas é feita utilizando o aparelho mostrado na figura 14, segundo montagem e esquema elétrico mostrados nas figuras 22 e 23.

Os potenciais são medidos em relação à terra e a sequência das operações é a seguinte:

1. Colocar a placa interna ^{superior} a um certo potencial ΔVS_i
2. Colocar as placas internas lateral e ^{inferior} a um certo potencial ΔVL_i , tal que

$$\Delta VL_i \leq \Delta VS_i$$

3. Ajustar os valores das resistências R_{le} e R_{se} até que coincidam com os valores dados pelos gráficos das figuras 20 e 21 para diferenças de potencial iguais a ΔVL_e e ΔVS_e , respectivamente,

onde

R_{le} simula a resistência oferecida à dissipação de calor pela superfície lateral do recipiente

R_{se} simula a resistência oferecida à dissipação de calor pela superfície superior do recipiente

ΔVS_e diferença de voltagem entre a superfície externa superior e a terra

ΔVL_e diferença de voltagem entre a superfície externa lateral e a terra. Esses potenciais simulam as diferenças de temperatura entre a superfície do recipiente e o ar ambiente.

4. Medir as correntes i_1, i_2, i_3, i_4 e i_5 que são análogas, respectivamente, aos fluxos de calor absorvidos pelas superfícies internas lateral e inferior do recipiente e dos fluxos de calor dissipados pelas superfícies externas, superior e lateral do recipiente.
5. Aplicar as relações analógicas, corrigidas conforme quadro II, convertendo as medidas elétricas nos valores térmicos procurados, anexo C
6. Repetir a sequência de operações para outros valores do potencial das placas internas lateral e inferior para o mesmo potencial da placa interna superior.
7. Variar o potencial da placa superior interna e repetir o processo.

IV.7. RESULTADOS EXPERIMENTAIS

Da experiência realizada obteve-se os seguintes dados, mostrados nas figuras 27 a 31.

Uma subrotina feita, designada por FLUXO, engloba todos êsses resultados, e para um par de valores TSI, TLI - temperaturas internas na parte superior e lateral - obtém-se todos os outros valores FS, FL, FI, TLS e TLE - fluxos de calor absorvido pelas superfícies internas superior, lateral e inferior, e temperaturas externas superior e lateral, respectivamente. Essa subrotina foi introduzida no programa principal que interliga os cálculos térmicos e hidráulicos, conforme parte III.3.iii.

Desse programa resultou os valores dos fluxos de calor e a distribuição de temperaturas compatíveis com uma certa vazão e para uma temperatura interna máxima pré-fixada.

Obteve-se também as temperaturas atingidas pelo elemento combustível e seu revestimento, e as temperaturas das superfícies externas do recipiente, mostrados nas figuras 32, 33 e 34 em função do calor total gerado.

IV.8. CONCLUSÕES

- 1) Como a temperatura máxima na superfície externa do recipiente não deve exceder 82°C - conforme norma - a taxa de geração máxima permitível para o recipiente em questão fica limitada em 10 kW, segundo o gráfico na figura 32.

- 2) Utilizando os gráficos das figuras 33 e 34, e atento às limitações das temperaturas máximas permissíveis para o revestimento e o elemento combustível, observe-se que as temperaturas atingidas por estes estão muito aquém daqueles valores que iniciaram um processo de comprometimento de sua integridade.

Dessa forma, a limitação para a taxa máxima de geração fica determinada pelas temperaturas atingidas na superfície externa do recipiente.

A N E X O A

PERDAS DE CARGA

As perdas de carga computadas se referem àquelas devido à fricção ao longo dos canais no interior do recipiente, como mostra a figura 11, e às perdas localizadas - expansão, contração e mudança de direção.

PERDAS POR FRIÇÃO

Conforme mostra a figura 11, existem três tipos de canais para o escoamento do fluido refrigerante.

O primeiro tipo corresponde aos canais entre as placas dos elementos combustíveis, em número de noventa, possuindo os seguintes parâmetros:

$$\begin{aligned} D_h &= 0,95 \text{ cm} \\ A_p &= 3,52 \text{ cm}^2 \\ \dot{m} &= \dot{m}_t / 90 \end{aligned}$$

onde:

D_h é o diâmetro hidráulico do canal

A_p é a área de passagem do canal

\dot{m} é a vazão em um canal

\dot{m}_t é a vazão total.

O segundo e terceiro tipos são canais periféricos, descendentes nos quais o fluido refrigerante cede calor às paredes internas do recipiente.

O do segundo tipo, de formato aproximadamente triangular, e em número de 8, possui os seguintes parâmetros:

$$\begin{aligned} D_h &= 3,672 \text{ cm} \\ A_p &= 19,8032 \text{ cm}^2 \\ \dot{m} &= 0,066 \end{aligned}$$

e para o terceiro tipo, de forma aproximadamente retangular, e em número de 4, tem-se:

$$D_h = 5,6 \text{ cm}$$

$$A_p = 35,6364 \text{ cm}^2$$

$$\dot{m} = 0,118$$

As perdas por fricção ΔP_f são calculadas pelas seguintes fórmulas [1] em função do regime de escoamento:

$$\Delta P_{ft} = \frac{2f L \rho v^2}{D_h} \quad \text{para regime turbulento (A.0)}$$

$$\Delta P_{fl} = \frac{64}{Re} \frac{L}{D_h} \frac{\rho v^2}{2} \quad \text{para regime laminar (A.1)}$$

onde

μ viscosidade da água

L- comprimento do canal

D_h - diâmetro do canal

Re - número de Reynolds

f- fator de fricção

v- velocidade média da água

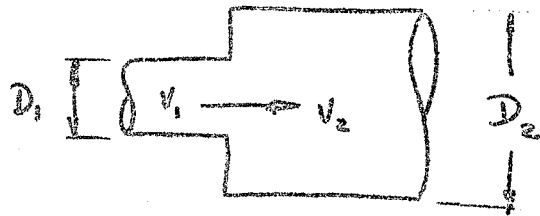
PERDAS LOCALIZADAS

Estes se dividem em três grupos.

1. EXPANSÃO [1]

As perdas por expansão são calculadas pela fórmula

$$\Delta P_e = K_e \frac{\rho v_i^2}{2} \quad (A-2)$$



onde S é a densidade da água

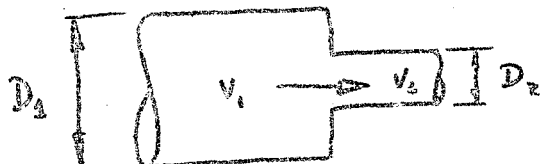
$$K_c = \left(1 - \frac{D_1^2}{D_2^2} \right)^2 \quad (A-3)$$

v_1 velocidade à montante

CONTRAÇÃO [1]

Estas são calculadas pela fórmula

$$dP_c = K_c \frac{\rho v_e^2}{2} \quad (A-4)$$



onde

K_c varia com a razão D_2/D_1 da seguinte forma:

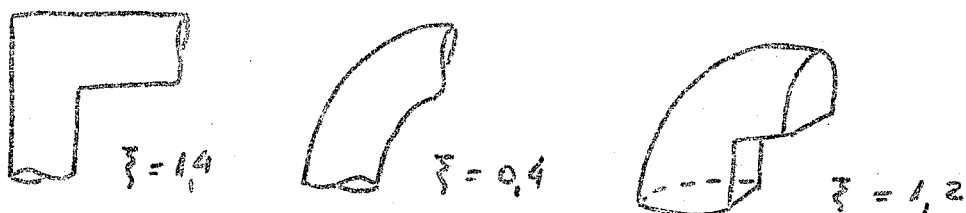
D	$\frac{D_2}{D_1}$	0,8	0,6	0,4	0,2	0,0
K_c		0,13	0,28	0,38	0,45	0,50

3. MUDANÇA DE DIREÇÃO

Este caso é de difícil resolução analítica (8) e então adotou-se um processo aproximado, resolvendo-o como se se tratasse de curvas de 90° em tubulações. A fórmula para o cálculo dessas perdas é a seguinte:

$$\Delta P_{md} = \xi \frac{\rho v^2}{2} \quad (A-5)$$

- ΔP_{md} - perdas por mudança de direção
 ρ - densidade
 v - velocidade média
 ξ - coeficiente para mudança de direção com valores distintos para cada configuração da curva como mostra a figura abaixo.



Adotou-se a pior situação, ou seja,

$$\xi = 1,4$$

Para o presente trabalho, considerou-se esta aproximação válida.

Anexo B

Dedicação das fórmulas III.11 e III.16

① Fórmula III.11. Ver figura 24

O fluxo de calor \dot{Q} através de um capo é dado por

$$\dot{Q} = -kA \frac{dt}{dx} \quad (B.1)$$

e se faz

$$Y = \alpha x + B_1 \quad (B.2)$$

a equação da reta B1B2. A fórmula (1) fica

$$\dot{Q} = -k\pi (\alpha x + B_1)^2 \frac{dt}{dx} \quad (B.3)$$

α é o coeficiente angular da reta integrando a fórmula (3) quando os materiais estão presentes, temos

$$\int_{T_i}^{T_o} \frac{k_i dt}{(\alpha x + B_1)^2} = \frac{1}{\pi} \int_{T_i}^{T_o} dt \quad (B.4)$$

onde

T_{∞} é a temperatura da superfície exterior.

T_i é a temperatura da superfície interna.

A equação (4) se transforma em:

$$-\frac{d}{dt} \left(\frac{h_1}{k_1} \frac{\partial T}{\partial x} \right)_1 + \frac{h_2}{k_2} \frac{\partial T}{\partial x} \Big|_2 + \frac{h_3}{k_3} \frac{\partial T}{\partial x} \Big|_3 = 0$$

ou seja (0.5)

$$-\frac{d}{dx} \left(h_1 \frac{\partial T}{\partial x} \right)_1 + h_2 \frac{\partial T}{\partial x} \Big|_2 + h_3 \frac{\partial T}{\partial x} \Big|_3 = 0$$

ou seja (0.6)

A equação é então dividida por h_1 .

$$\frac{d}{dx} \left(\frac{h_2}{h_1} \frac{\partial T}{\partial x} \right)_1 + \frac{h_3}{h_1} \frac{\partial T}{\partial x} \Big|_3 = 0 \quad (0.7)$$

Sendo desconsiderada a resistência molecular,

② Fórmula B.16

$$\dot{Q} = -kA \frac{dt}{dx} \quad (B.8)$$

Equação da regra B.8 para as dimensões
reais do recipiente conforme fig. 8

$$Y = 1,2x + 33,5 \quad (B.9)$$

$$\dot{Q} = -4k\pi x(1,2x + 33,5) \frac{dt}{dx} \quad (B.10)$$

onde $A = \partial T \partial h = 2\pi R (dx)$

$$A = 2\pi R (1,2x + 33,5) \quad (B.11)$$

Integrando a equação (10) para 3
materiais diferentes, vemos:

$$-\dot{Q} \left[\frac{1}{k_1(1,2x^2 + 33,5)} dx \right] = 4\pi \int_{T_i}^{T_o} dt \quad (B.12)$$

$$-\dot{Q} \left(\frac{1}{k_1(1,2x^2 + 33,5)} dx + \int_{T_i}^{T_2} \frac{1}{k_2(1,2x^2 + 33,5)} dt + \int_{T_2}^{T_o} \frac{1}{k_3(1,2x^2 + 33,5)} dt \right)$$

- 47 47 (B.13)

A equação (13) nos deu a

$$\begin{aligned} & \dot{Q}\left(\frac{1}{33,5}\right) \ln n - \ln(12n + 33,5) \Big|_{k_1}^{k_2} + \frac{1}{33,5} \ln n + \\ & = \frac{\ln(12n + 33,5)}{k_2} \Big|_{k_2}^{k_3} + \frac{1}{33,5} \frac{\ln n - \ln(12n + 33,5)}{k_3} \Big|_{k_2}^{k_3} = \text{fato} \end{aligned}$$

que, depois de acarreta da forma

$$\begin{aligned} \hat{Q} &= \dots \quad \text{ar} \quad (B.14) \\ & \frac{1}{33,5} \sum_{i=1}^3 \left[\ln\left(\frac{B_{i+1}}{B_i}\right) - \ln\left(\frac{B_i}{B_{i+1}}\right) \right] \end{aligned}$$

com $B_0 = B_0$ é a ordenada na origem
a fórmula passada, devolvendo da equa-
ção:

$$R_{10} = \frac{1}{20,6} \sum_{i=1}^3 \left[\ln\left(\frac{B_{i+1}}{B_i}\right) - \ln\left(\frac{B_i}{B_{i+1}}\right) \right] B_{i+1}$$

A N E X O C

CORREÇÕES A SEREM FEITAS
SÓBRE OS DADOS EXPERIMENTAIS

- 1) Como se construiu apenas um setor abrangido por um ângulo de 15°, do aparelho simulador, todas as resistências ficaram multiplicadas por um fator de 24, e a corrente dividida pelo mesmo fator. Baseado nisso, as relações analógicas dadas no Quadro I ficam modificadas para as seguintes dadas no Quadro II, abaixo.

QUADRO II

CASO REAL	CASO ANALÓGICO	RELAÇÃO
Diferença de temperatura(ΔT)	Diferença de potencial(ΔV)	$\Delta T = \beta \Delta V$
Fluxo de calor (\dot{Q})	Corrente elétrica (i)	$\dot{Q} = 24 \beta i$
Resistência térmica (R_t)	Resistência elétrica (R_e)	$R_t = (\beta/\beta) R_e$
Condutividade térmica (k)	Condutividade elétrica (γ_g)	$k_g = \beta/\lambda \gamma_g$

- 2) O calor total dissipado pela superfície externa do recipiente corresponde à soma do calor gerado no interior do recipiente e da parcela absorvida do calor solar.

A experiência não prevê isso e considera todo o calor dissipado como sendo calor gerado. Os valores encontrados para as temperaturas internas e para os fluxos de calor, superior lateral e inferior, devem, portanto, sofrer uma correção.

Sendo

Q_t : o valor do fluxo de calor dissipado pelas superfícies externas do recipiente dado pela experiência e considerado como calor gerado pela mesma

T_{ix} : a temperatura da superfície interna é obtida com o valor

T_{ex} : a temperatura da superfície externa

Q_g : o calor gerado no interior do recipiente, igual a

$$Q_g = Q_t - Q_{sa} \quad (c-1)$$

onde

Q_{sa} : é o calor solar absorvido pela superfície externa do recipiente

é nômo valor para a temperatura interna T_{ix} , em função de Q_g , é calculado pela seguinte expressão:

$$T_{ix} = \frac{Q_g}{Q_t} (T_{ix} - T_{ex}) + T_{ex} \quad (c-2)$$

A N E X O D

DETERMINAÇÃO DA RESISTIVIDADE DA
SOLUÇÃO ELETROLÍTICA

A resistência térmica oferecida pela blindagem é simulada por uma solução de sulfato de cobre e ácido sulfúrico, cuja composição foi obtida depois de várias tentativas, chegando-se ao seguinte resultado: a 6 litros de água, adicionar 40 gramas de sulfato de cobre e 0,4 ml de ácido sulfúrico.

Alguns autores [12] aconselham utilizar uma solução saturada de sulfato de cobre, contendo 0,5% em volume de ácido sulfúrico. Devido a problemas de deposição (precipitação) essa solução acarretaria problemas na experiência e foi abandonada.

Outra limitação para a utilização da solução seria os valores das correntes elétricas, excessivo para os aparelhos utilizados.

O valor da resistividade ρ da solução foi determinado da seguinte maneira:

Coloca-se a solução num/ tubo de vidro, mostrado na figura 25, com uma área transversal interna A_i igual a

$$A_i = 1,77 \text{ cm}^2 \quad (\text{D-1})$$

e comprimento interno útil ΔL igual a

.yR.

$$\Delta L = 21,5 \text{ cm} \quad (\text{D-2})$$

o qual é inserido no circuito elétrico mostrado na figura 25. As extremidades do recipiente são vedadas com rochas de borracha pelas quais se atravessam terminais condutores de seção igual à seção transversal interna para manter contato elétrico com a solução. Como a solução oferece uma certa resistividade R à passagem da corrente, a sua resistividade é calculada pela fórmula seguinte:

$$\rho = \frac{\Delta V \times A_i}{i \times \Delta L} \quad (\text{D-3})$$

onde

ΔV é a diferença de potencial entre os terminais do recipiente
 i = corrente que atravessa a solução.

O valor encontrado para a resistividade ρ foi igual a

$$\rho = 240 \Omega \cdot \text{cm} \quad (\text{D-4})$$

Anexo E

Obtenção da fórmula P.24

A radiação para um meio paroso é dada pelo seguinte fórmula:

$$Q_a = A \epsilon \sigma (T_1^4 + T_2^4) \quad (\text{P.24})$$

onde

ϵ é a área efetiva de radiação
é caracterizada do corpo

σ é a constante de Stefan-Boltzmann
 T é a temperatura do gás

$\sigma = 0,77 \times 10^{-3} \text{ Btu/h ft}^2 \text{ °R}^4$

$$Q = 1,35 \times 10^{-12} \text{ cal/seg/cm}^2 \text{ °R}^4 \quad (\text{P.24})$$

O calor transferido por radiação pela fórmula acima é o apposso da fórmula original:

$$Q_a = k_p A (T_1 - T_2) \quad (\text{P.24})$$

Das equações (1) e (3) temos,

$$h_o = 60 \left(\frac{\left(\frac{T_1}{100}\right)^4 - \left(\frac{T_2}{100}\right)^4}{T_1 - T_2} \right) \times 10^8 \quad (\text{E. 4})$$

com o valor de ϵ da fórmula (2)

$$h_o = \frac{0,38 \times 10^7}{T_1 - T_2} \in \left(\frac{\left(\frac{T_1}{100}\right)^4 - \left(\frac{T_2}{100}\right)^4}{T_1 - T_2} \right) \underset{\text{seg. eq. 2}}{\text{cal}} \quad (\text{E. 5})$$

Adotando $\epsilon = 0,504$

$$h_o = \frac{0,38 \times 10^7}{T_1 - T_2} \left(\frac{\left(\frac{T_1}{100}\right)^4 - \left(\frac{T_2}{100}\right)^4}{\left(\frac{T_1}{100}\right)^4 + \left(\frac{T_2}{100}\right)^4} \right) \underset{\text{seg. eq. 2}}{\text{cal}} \quad (\text{E. 6})$$

entendendo com os valores de
temperatura em °K
dada em cal

Obtido da fórmula III.28.

Fazendo assim, fórmulas empíricas
com os coeficientes que são válidos só
neste para um conjunto particular
de unidades. Estes coeficientes devem

sean modificaciones para que cada punto configurante de unidares posea su estípite.

A continuación presento que es el tipo aplicado observando que una vez seguidas las dos operaciones devan progresar en libadas unidades.

Asimismo se presentan para su cumplimiento una operación tentativa para el caso de unidades enteras desde el lado izquierdo.

$$k = 0,67 (E.7)^{1/3} \text{ (E.8)}$$

Es preferible utilizar la anterioridad de unidades.

A continuación presento otra alternativa con resultados. E.9.

La fórmula es la siguiente:

$$k = 0,67 (E.7)^{1/3} \quad (E.8)$$

Presentado con resultados

$$E.7^{1/3} = 0.7^3 = 0.49 (E.9)$$

Presentado de [E.8]

$$(k) = \pi \cdot \delta T^{-1} L^{-2} \theta^{-4/3} \quad (E.10)$$

Algo más de $\frac{1}{2}$

$$k = 0,19 \frac{6,9994 \times 10^{-2}}{9,29 \times 10^2 \times \frac{5}{3} \sqrt[3]{\frac{5}{9}}} \quad$$

$$k = 0,312 \times 10^{-4} \quad (E.11)$$

$$h = 0,312 \times 10^{-4} (AT)^{4/3} \quad (E.12)$$

LISTAGEM DO PROGRAMA PRINCIPAL

```

C   CALCULO DAS TEMPERATURAS INTERNAS, EXTERNAS E DOS FLUXOS DE CAL
T1=80.
1   IDL=1
    IDS=1
    NRT4=1
    VAZT=1
C   VALORES PROVISORIOS
    VAZT=100.
    DS=2.
    DL=2.
    CP=1.
    TSI=T1-DS
7   TLI=T1-2*DS-DL
    CALL FLUXO (TSI,TLI,FS,FL,FI, TSE,TLE)
    FSOL=250.
    ETA=(FS+FL+FI-FSOL)/(FS+FL+FI)
    FS=FS*ETA
    FL=ETA*FL
    FI=FI*ETA
    TSE=TSI-ETA*(TSI-TSE)
    TLF=TLI-ETA*(TLI-TLE)
    DSP=0.5*FS/(CP*VAZT)
    IF(ABS(DS-DSP)=0.03) 10,10,20
20  DS=DSP
    IDS=IDS+1
    IF(IDS=1000) 5,5,30
30  WRITE (3,222) IDS
    CALL EXIT
222 FORMAT (I5)
10  CONTINUE
    DLP=0.5*FL/(CP*VAZT)
    IF(ABS(DL-DLP)=0.03) 40,40,50
50  DL=DLP
    IDL=IDL+1
    IF (IDL=999) 7,7,60
60  WRITE (3,222) IDL
    CALL EXIT
40  CONTINUE

```

```

T2=T1-2*DS
T3=T2-2*DL
T4=T3-FI/(CP*VAZT)
T12=TSI
T23=TLI
T34=(T3+T4)/2.
T14=(T1+T4)/2.
C PARTE HIDRAULICA
C CALCULO DA FORCA MOTRIZ
HIGH=90.
P=1.
DEN1=DENSS(T14,P)
DENS1=DEN1*1000
DEN2=DENSS(T23,P)
DENS2=DEN2*1000
DELP=HIGH*(DENS2-DENS1)
C CALCULO DAS PERDAS DE CARGA
C PERDA AO LONGO DOS CANAIS
C CANAIS ASCENDENTES
DH=0.95
AP=3.52
VAZ=VAZT/90.
VEL=VAZ/(AP*DENS1)
VISCO=VISCO(T14,P)
VISCI=VISCO*10
RFY=DH*VEL*DENS1/VISCI
REY1=REY
IF (REY=0.4E+04) 33,22,22
22 FF=0.2*REY**(-0.2)
PPCA=2*(FF*HIGH*DENS1*VEL**2/(DH*981))
GO TO 36
33 FF=16./REY
PPCA=(64*HIGH*DENS2*VEL**2)/(REY*DH*2.*981)
36 CONTINUE
C CANAIS DESCENDENTES
C CASO 1
DH=3.672
AP=19.8032
VAZ=0.066*VAZT
VEL=VAZ/(AP*DENS2)
VISCO=VISCO(T23,P)
VISCI=VISCO*10
REY=DH*VEL*DENS2/VISCI
IF (REY=0.4E+04) 44,55,55
55 FF=0.2*REY**(-0.2)
PPCD1=(2*FF*HIGH*DENS2*VEL**2/(DH*981.))
GO TO 57
44 FF=16./REY
PPCD1=(64*HIGH*DENS2*VEL**2)/(REY*DH*2*981.)
57 CONTINUE
C CASO 2
DH=5.6
AP=35.6364
VAZ=0.118*VAZT
DENS3=DENS2
VEL=VAZ/(AP*DENS3)
VISCI=VISCI
REY=DH*VEL*DENS3/VISCI
IF (REY=0.4E+04) 66,77,77

```

77 FF=0.2*REY**(-0.2)
 PRCD2=(2*FF*HIGH*DENS3*VEL**2/(DH*981.))
 GO TO 82
 66 FF=16./REF
 PRCD2=(64*HIGH*DENS3*VEL**2)/(REY*DH*2*981.)
 82 CONTINUE
 C PERDAS LOCALIZADAS
 C PARTE SUPERIOR
 C EXPANSAO
 DH1=0.95
 DH2=1.38
 AP1=3.52
 AP2=5.51
 VAZ=0.066*VAZT
 T12=(T1+T2)/2.
 DEN=DENSS(T12, P)
 DENS=DEN*1000
 XKE=(1.-DH1**2/DH2**2)**2
 VEL=VAZ/(AP1*DENS)
 PPFC1=XKE*DENS*VEL**2 / (2*981.)
 C CONTRACAO
 C CASO 1
 DH1=4.28
 DH2=3.672
 AP1=23.656
 AP2=19.8032
 VAZ=0.066*VAZT
 DEN=DENSS(T2, P)
 DENS=DEN*1000
 VEL=VAZ/(AP2*DENS)
 PPCC1= 0.05*DENS*VEL**2/(2*981.)
 C CASO 2
 DH1=6.25
 DH2=5.6
 AP1=40.944
 AP2=35.6364
 VAZ=0.118*VAZT
 DEN=DENSS(T2, P)
 DENS=DEN*1000
 VEL=VAZ/(AP2*DENS)
 PPCC2= 0.05*DENS*VEL**2/(2*981.)
 C MUDANCA DE DIRECAO
 C APOS A EXPANSAO
 AP=5.51
 VAZ=0.066*VAZT
 DEN=DENSS(T12, P)
 DENS=DEN*1000
 VEL=VAZ/(AP*DENS)
 PPMD1=(1.4*DENS*VEL**2/(2*981.))
 C PARA ENTRAR NOS CANAIS DE DESCIDA
 C CASO 1
 AP=23.656
 DEN=DENSS(T2, P)
 DENS=DEN*1000
 VAZ=0.066*VAZT
 VEL=VAZ/(AP*DENS)
 PPMD2=(1.4*DENS*VEL**2/(2*981.))
 C CASO 2
 AP=40.944

```

DEN=DENSS(T2,P)
DENS=DEN*1000
VAZ=0.118*VAZT
VEL=VAZ/(AP*DENS)
PPMD3=(1.4*DENS*VEL**2/(2*981.))
C PARTE INFERIOR
C MUDANCA DE DIRECAO
C APOS A EXPANSAO
C CASO 1
AP=23.656
VAZ=0.066*VAZT
DEN=DENSS(T3, P)
DENS=DEN*1000
VEL=VAZ/(AP*DENS)
PPMD4=((1.4*DENS*VEL**2)/(2*981.))
C CASO 2
AP=40.944
VAZ=0.118*VAZT
DEN=DENSS(T3, P)
DENS=DEN*1000
VEL=VAZ/(AP*DENS)
PPMD5=((1.4*DENS*VEL**2)/(2*981.))
C CASO 3 - PARA OS CANAIS COM COMBUSTIVEL
AP=5.51
VAZ=VAZT/90.
DEN=DENSS(T34,P)
DENS=DEN*1000
VEL=VAZ/(AP*DENS)
PPMD6=((1.4*DENS*VEL**2)/(2*981.))
C CONTRACAO
VAZ=VAZT/90.
AP1=3.52
DH1=0.95
AP2=5.51
DH2=1.38
DEN=DENSS(T34,P)
DENS=DEN*1000
VEL=VAZ/(AP1*DENS)
PPC3= 0.2125*DENS*VEL**2/(2*981.)
C EXPANSAO
C CASO 1
AP1=19.8
DH1=3.672
AP2=23.656
DH2=4.28
VAZ=0.066*VAZT
DEN=DENSS(T3, P)
DENS=DEN*1000
VEL=VAZ/(AP1*DENS)
PPE2= 0.073*DENS*VEL**2/(2*981.)
C CASO 2
AP1=35.6364
DH1=5.6
AP2=40.944
DH2=6.15
VAZ=0.118*VAZT
DEN=DENSS(T3, P)
DENS=DEN*1000
VEL=VAZ/(AP1*DENS)

```

```

PPE3= -0.029*DFNS*VEL**2/(2*981.)
PCT=PPCA+PPCD1+PPCD2+PPEC1+PPCC1+PPCC2+PPMD1+PPMD2+PPMD3+PPMD4+PPM
1D5+PPMD6+PPC3+PPE2+PPE3
DIFF=DELP-PCT
IF(APS(DELP-PCT)-0.005)37,37,79
NRT4=NRT4+1
IF(NRT4-2)83,8d,99
VAZA=VAZT
DIFFPA=DIFPA
VAZT=VAZT+S.
GO TO 7
VAZP=VAZT
V=((VAZP-VAZA)*1000)/((DIFPA-DIFP)*1000)*DIFPA+VAZA
VAZT=V
VAZA=VAZP
DIFPA=DIFP
GO TO 7
37 WRITE(3,9001)
9001 FORMAT(16X,'T1',12X,'TSI',12X,'TLI',12X,'TSE',12X,'TLE',12X,'FS',12
1X,'FL',12X,'FI')
WRITE(3,9002) T1,TSI,TLI,TSE,TLE,FS,FL,FI
9002 FORMAT(12X,8E13.6,//)
QT=FS+FL+FI
TCAL=0.488
TCU=0.360
AU=0.0875
AAL=0.0380
VAZ=VAZT/90.
AP=3.52
VOL=62.7
AREA=528.
DH=0.95
QIII=QT/(90.*VOL)
QII=(QT/(90.*AREA))*2
IF (REY1-0.4E+04) 555,888,888
888 TCH=CTH(T14)
H=0.023*REY1**0.8*((CP*VISCL/TCH)**0.4)
DELT1=QII/H
DELT2=(QII/TCAL)*AAL
DELT3=QIII*AU**2/(2.*TCU)
TRE=T1+DELT1
TRI=TRE+DELT2
TCM=TRI+DELT3
WRITE(3,9003)
9003 FORMAT(17X,'TRE',13X,'TRI',13X,'TCM',13X,'QT',13X,'TLE',13X,'TSE'
WRITE(3,9005) TRE,TRI,TCM,QT,TLE,TSE
9005 FORMAT(11X,6E15.7,//)
GO TO 7117
555 TRE=T14+10.
ITRE=1
1111 VISCO=VISCO(TRE,P)
VISCP=VISCL*10
VEL=VAZ/(AP*DFNS1)
TCH=CTH(T14)
BETA=CEH(T14)
PR=CP*VISCL/TCH
XNU=1.86*(REY1*PR*DH/HIGH)**(1/3.)*(VISCL/VISCP)**(0.14)
H=TCH*XNU/DH
H1=QII/(TRE-T14)

```

```

DELH=HHH1
IF(LAPS(DELH)=0) GO TO 123,123,999
99 TRE=TRE+1
IF(TRE>2) 234,234,456
55 TRE=TRE
TRE=((TREP-TREA)*1000)/((DELHA-DELH)*1000)*DELHA+TREA
TRE=TRE
TREA=TREP
DELHA=DELH
GO TO 1111
134 TREA=TREA
DELHA=DELH
TRE=TRE+10
GO TO 1111
123 DELT2=(QIII/TCAL)*AAL
H3=(CP*VAZ*(T1-T4))/AREA*(TRE-T14)
WRITE(3,3456) H1,H3
3456 FORMAT(10X,2F15.7,/)
DELT3=QIII*AU**2/(2.*TCU)
TRI=TRE+DELT2
TCM=TRI+DELT3
WRITE(3,941)
941 FORMAT(17X,'TRE',13X,'TRI',13X,'TCM',13X,'H',13X,'REY1',13X,'QT')
WRITE(3,1234) TRE,TRI,TCM,H,REY1,QT
1234 FORMAT(10X, 6F15.7,/)
7117 T1=T1+5.
IF (T00.-T1) 1000,1,1
1000 CALL EXIT
END
FUNCTION ENTAS(T,P)
C CALCULA ENTALPIA DO LIQUIDO EM FUNCAO DA PRESSAO E TEMPERATURA
C 112 ADE DE ENTAL(KCAL/KG)
C
DIMENSION D(25),C(4)
DATA D/-8.943553E3,1.114107E5,-6.3697257E5,2.1568433E6,-4.721840E
1,6.9144071E6,-6.7617112E6,4.2535928E6,-1.5607805E6,2.5441829E5,5.
228535E3,6.1191876E-17,0.294117E00,5.8020689E-1,4.166667E-1,1.022
3748F16,-1.139706E-4,-6.244398E8,1.19991E6,0.6237151E00,7.241165E-
4,0.7676621E00,-1.052358E-11,1.5108E-5,6.55134E00/,C/3.122199E8,1.
599850F5,1.362925E16,1.500705E00/
SIGMA=P/225.65
TAU = (T+273.16)/647.3
STAU=TAU**2
ETAU = TAU**6
PTAU = TAU**11
UTAU = 3.7E+8-C(1)*STAU-C(2)/ETAU
VTAU = D(18)*STAU+D(19)/ETAU
W = UTAU+SQRT(1.72*UTAU**2+C(3)*(SIGMA-C(4)*TAU))
TTAU=D(1)
DO 1 I=1,9
II=I+1
TTAU=TTAU+D(II)*TAU**I
1 CONTINUE
TT1=a*(D(14)*w-D(15)*(3.4*UTAU-VTAU))+D(16)*TAU-0.72*UTAU*VTAU
TT2=D(17)+(D(20)-TAU)*(D(21)*(D(20)+TAU)+D(22)*((D(20)-TAU)**8)*(1
1(20)+9.0*TAU))
ENTAS=TTAU+D(11)*(D(12)/(W**D(13)))*TT1+TT2*SIGMA+D(23)*(D(24)+12.
10*PTAU)/((D(24)+PTAU)**2)*(62.5+SIGMA*(D(25)+SIGMA/3.0))*SIGMA
RETURN

```

FUNCTION DE DENS(T,P)

CALCULA A DENSIDADE DA AGUA LIQUIDA EM FUNCAO DA PRESSAO E DA TEMPERATURA DE PRESSAO (KG/CM**2)

UNIDADE DE TEMP (GRAUS CELSIUS)

UNIDADE DE DENS (KG/CM**3)

SIGMA = 0.00000(15)

DATA C 3.12219E+8,1.999850E+5,1.362926E16,1.500705E+0
 1,-2.9411784E-1,1.139706E-4,9.949927E-5,6.537134E-1,7.241165E-5,7.
 2674E-1,1.052358E-11,1.310268E+1,1.5108E-5,-6.244398E+8,1.1.991E
 3+6/

SIGMA = 0.00000(15)

TAU = 1.7+2.73.16) 1647.3

STAU=TAU**2

ETAU = TAU**6

UTAU = 3.72+C(1)*STAU-C(2)/ETAU

H = UTAU+SIGMA(1.72*UTAU**2+C(3)*(SIGMA-C(4)*TAU))

RC = (0.417**2+C(5))-C(6)+TAU*C(7)+((C(8)-TAU)**2)*(C(9)+C(10)*

1C(8)-TAU)**2+C(11)*(62.5+C(12)*SIGMA+SIGMA**2)/(C(13)+TAU**11))*

2.0E+6

DENS = 1.0/RC

RETURN

FND

FUNCTION VISCOS(T,P)

CALCULA VISCOSEDADE EM FUNCAO DA ENTALPIA DADOS P E

UNIDADE DE PRESSAO KG/CM**2

UNIDADE DE TEMPERATURA GRAU C

UNIDADE DE VISCO KG/S**2

H= 1.8*CTAS(T,P)

IF(H>90)1,2,2

1 VISCOS= 0.09+118.7*(H+0.25*(90-H))

GOTO 3

2 VISCOS= 0.09+118.7/H

3 VISCOS= (V) 10*4.1338E-04)*(9.81/9.8)

RETURN

FND

FEND

FUNCTION CT (T)

CALCULA COND.TERMICA DA AGUA

TEMP. EM GRAU CENT. E TCH EM CAL/SEG.CM. C

DIMENSION TEMP(11),TC(11)

DATA TEMP/20.,40.,60.,80.,100.,120.,140.,160.,180.,200.,220./

DATA TC /0.0143,0.01515,0.01575,0.0161,0.0163,0.0164,0.0161

16.0.0163,0.0161,0.01583,0.01555/

DO 10 I=1,11

IF (TEMP(I)=T) 10,11,12

CONTINUE

CTH=TC(I)

RETURN

12 CTH=((TC(I)-TC(I-1))/20.)*(T-TEMP(I-1))+TC(I-1)

RETURN

FEND

FUNCTION CEH(T)

CALCULA COEF.EXPANSAO DA AGUA

TEMPERATURA EM GRAU CENTIGRADO E BETA EM 1/GRAU CENT.

DIMENSION TEMP(11),BET(11)

DATA TEMP/20.,40.,60.,80.,100.,120.,140.,160.,180.,200.,220./

DATA BET/1.52,3.87,2.11,6.32,7.52,8.64,9.72,10.7,11.9,13.3,14.0

```

DO 10 I=1,11
10 IF (TEMP(I)-T) 10,11,12
CONTINUE
11 CEH=BET(I)
RETURN
12 CEH =((BET(I)-BET(I-1))/20.)*(T-TEMP(I-1))+BET(I-1)
RETURN
END
SUBROUTINE FLUXO(TSI,TLI,FS,FL,FI,TSE,TLE)
IF(TSI-71.)10,15,20
15 FI=-135.07+2.7045*TLI
FL=-1427.2+31.165*TLI
FS=608.7-7.6324*TLI
TLE=20.504+0.43*TLI
TSE=26.161+0.35366*TLI
RETURN
20 IF(TSI-80.) 30,30,40
30 FI1=-166.7+3.1428*TLI
FL1=-1468.8+31.424*TLI
FS1=533.35-5.5326*TLI
TLE1=19.42+0.45381*TLI
TSE1=24.658+0.38916*TLI
FI=-135.07+2.7045*TLI
FL=-1427.2+31.165*TLI
FS=608.7-7.6324*TLI
TLE=20.504+0.43*TLI
TSE=26.161+0.35366*TLI
FL =((FL1-FL )*(TSI-71. ))/9.+FL
FS =((FS1-FS )*(TSI-71. ))/9.+FS
FI =((FI1-FI )*(TSI-71. ))/9.+FI
TSE=((TSE1-TSE)*(TSI-71. ))/9.+TSE
TLE=((TLE1-TLE)*(TSI-71. ))/9.+TLE
RETURN
40 IF(TSI-89.) 50,50,60
50 FI2=- 167.65+3.1217*TLI
FL2=-1202.7+27.545*TLI
FS2=665.55-6.251*TLI
TLE2=26.673+0.36674*TLI
TSE2=30.069+0.33313*TLI
FI1=-166.7+3.1428*TLI
FL1=-1468.8+31.424*TLI
FS1=533.35-5.5326*TLI
TLE1=19.42+0.45381*TLI
TSE1=24.658+0.38916*TLI
FS=((FS2-FS1)*(TSI-80.))/9.+FS1
FL=((FL2-FL1)*(TSI-80.))/9.+FL1
TSE=((TSE2-TSE1)*(TSI-80.))/9.+TSE1
TLE=((TLE2-TLE1)*(TSI-80.))/9.+TLE1
FI=((FI2-FI1)*(TSI-80.))/9.+FI1
RETURN
60 IF(TSI- 98.)70,70,80
70 FI3=-139.91+2.6898*TLI
FL3=-1531.4+31.338*TLI
FS3=594.52-4.73*TLI
TLE3=21.102+0.43848*TLI
TSF3=25.078+0.40011*TLI
FI2=- 167.65+3.1217*TLI
FL2=-1202.7+27.545*TLI
FS2=665.55-6.251*TLI

```

```

TLE2=26.673+0.35674*TLI
TSE2=32.069+0.33313*TLI
FS=((FS3-FS2)*(TSI-89.))/9.+FS2
FI=((FI3-FI2)*(TSI-89.))/9.+FS2
FL=((FL3-FL2)*(TSI-89.))/9.+FL2
TSE=((TSE3-TSE2)*(TSI-89.))/9.+TSE2
TLE=((TLE3-TLE2)*(TSI-89.))/9.+TLE2
RETURN
80 IF(TSI-135.)90,90,100
90 FI4=53.+3.* (TLI-95.)
FL4=1320.+30*(TLI-95.)
FS4=417.-4.5*(TLI-95.)
TLE4=63.+0.4*(TLI-95.)
TSE4=65.+0.36*(TLI-95.)
FI3=-139.91+2.6898*TLI
FL3=-1531.4+31.338*TLI
FS3=594.52-4.73*TLI
TLE3=21.102+0.43848*TLI
TSE3=25.078+0.40011*TLI
FS=((FS4-FS3)*(TSI-98.))/37.+FS3
FI=((FI4-FI3)*(TSI-98.))/37.+FI3
FL=((FL4-FL3)*(TSI-98.))/37.+FL3
TSE=((TSE4-TSE3)*(TSI-98.))/37.+TSE3
TLE=((TLE4-TLE3)*(TSI-98.))/37.+TLE3
RETURN
100 FI3=-139.91+2.6898*TLI
FL3=-1531.4+31.338*TLI
FS3=594.52-4.73*TLI
TLE3=21.102+0.43848*TLI
TSE3=25.078+0.40011*TLI
FI4=53.+3.* (TLI-95.)
FL4=1320.+30*(TLI-95.)
FS4=417.-4.50*(TLI-95.)
TLE4=63.+0.4*(TLI-95.)
TSE4=65.+0.36*(TLI-95.)
TSE=((TSE4-TSE3)*(TSI-98.))/37.+TSE3
TLE=((TLE4-TLE3)*(TSI-98.))/37.+TLE3
FL=((FL4-FL3)*(TSI-98.))/37.+FL3
FS=((FS4-FS3)*(TSI-98.))/37.+FS3
FI=((FI4-FI3)*(TSI-98.))/37.+FI3
RETURN
10 CALL EXIT

```

PAGE 1

// JOB T

LOG DRIVE	CART SPEC	CART AVAIL	PHY DRIVE
0000	1CCE	1CCE	0000

V2 M08 ACTUAL 16K CONFIG 16K

// FOR

*LIST SOURCE PROGRAM

*ONE WORD INTEGERS

*IOCS(CARD,1132PRINTER)

C CALCULO DA RESISTENCIA TERMICA SUPERIOR

DIMENSION B(50,2)

TEAR=95.

LP=1

EMIS=.5

DO 1 N=1,50

K=105+(N-1)*3

TEX=K

DELT=TEX-TEAR

HR=(0.173*EMIS)/(TEX-TEAR))*(((TEX+460.)/100.)**4-((TEAR+460.)/10.)*4)

HC= 0.22*DELT**(1/3.)

DELT1=DELT*5/9.

CALL REND (HC,ET)

AREAR=(3.14*85.8**2)/(4*24.)

AREAC=((3.14*85.8**2)/4.-77*(.5)*20.9+ 5*77*20.9*2*ET)/

HC1=HC*1.3565E-04

HR1=HR*1.3565E-04

RT=1/(HC1*AREAC+HR1*AREAR)

RT1=RT

B(N,1)=DELT1

B(N,2)=RT1

1 CONTINUE

CALL PONTO (B,50,1,LP)

LP=0

CALL EXIT

END

FEATURES SUPPORTED

ONE WORD INTEGERS

IOCS

CORE REQUIREMENTS FOR

COMMON 0 VARIABLES 242 PROGRAM 302

END OF COMPILATION

O 100

T = $\sqrt{2} \pi / \omega_0$

CART AVAIL 1112 PHY DRIVE 0000

2021 ACT 4L 100 CONFIG 16K

1 / 503

★ 七、社会文化与政治

*11ST SERVICE, 2 S.A.T.

SUPERVISOR (HC, ET)

DINE SIE MIT MICH, ETA(8)

DATA 41445566778899111111

DATA STA1..969..949..949..9338..927..915..9069..8932/

$\sum_{i=1}^n \frac{1}{i} = 1 + \frac{1}{2} + \dots + \frac{1}{n}$

IF $(\exists i \in [n]) = \text{HC}$

CONTINUE

11 FT 2

PETUÍ

12 $\pi^+ = (\text{F} \mid \text{A})$

RETURNS

FIG. D

2020-232 INTRODUCES

2500 SETUPS FOR RENT
600 WEDDING VENUES

CH. 3. THE VARIOLE

38 PROGRAM 86

END OF COMPILATION

11 DUP

~~ESTOQUE~~ NS UA PEND

CART ID 1112 DR ADDR 1BDC DR CNT 0000

DEFINIÇÕES

	Definição
A.P.	área de passageiros do ônibus destinada ao desembarque ou embarque de passageiros
B.	círculo operacional
C.P.	distância entre o ponto de partida e o ponto de chegada
D.	distância entre o ponto de partida e o ponto de chegada
E.	distância entre o ponto de partida e o ponto de chegada
F.	distância entre o ponto de partida e o ponto de chegada
G.	distância entre o ponto de partida e o ponto de chegada
H.	distância entre o ponto de partida e o ponto de chegada
I.	distância entre o ponto de partida e o ponto de chegada
J.	distância entre o ponto de partida e o ponto de chegada
K.	distância entre o ponto de partida e o ponto de chegada
L.	distância entre o ponto de partida e o ponto de chegada
M.	distância entre o ponto de partida e o ponto de chegada
N.	distância entre o ponto de partida e o ponto de chegada
O.	distância entre o ponto de partida e o ponto de chegada
P.	distância entre o ponto de partida e o ponto de chegada
Q.	distância entre o ponto de partida e o ponto de chegada
R.	distância entre o ponto de partida e o ponto de chegada
S.	distância entre o ponto de partida e o ponto de chegada
T.	distância entre o ponto de partida e o ponto de chegada
U.	distância entre o ponto de partida e o ponto de chegada
V.	distância entre o ponto de partida e o ponto de chegada
W.	distância entre o ponto de partida e o ponto de chegada
X.	distância entre o ponto de partida e o ponto de chegada
Y.	distância entre o ponto de partida e o ponto de chegada
Z.	distância entre o ponto de partida e o ponto de chegada

T_{ar}	temperatura ambiente
T_{ex}	temperatura da superfície externa
T_i	temperatura da superfície interna
v	velocidade média

TERMAS CÍCLICAS

α_c	coeficiente angular
ϵ	emissividade do material
ξ	definido na equação IV.22
σ	constante de Stefan-Boltzmann
ρ	resistividade da solução eletrolítica
λ	
ζ	definidos na parte IV.2
γ	definido na equação A.5
Ψ	definido na parte III.3
ρ_a	densidade do fluido refrigerante no ramo ascendente
ρ_d	densidade do fluido refrigerante no ramo descendente
ϕ	definido na parte III.3

6

DEFINIÇÕES

c	convecção
e	externo
i	inferior
í	interno
l	lateral
n	nebuloso
o	origem
r	radiação
s	superior
t	térmica

R radiação
S superior
t térmica

SUPERFÍCIE

C convecção
R radiação
t total

BIBLIOGRAFIA

- [1] Nuclear Reactor Engineering - Samuel Glasstone e Alexander Sesonske
- D. Van Nostrand Company, Inc. - 1967
- [2] Directory of Shipping Containers for Radioactive Materials - USAECC
- [3] Proceedings of the Second International Symposium on Packaging and
Transportation of Radioactive Materials - CONF. 681001 SR
Gatlinburg - Tennessee
- [4] Cask Designers Guide - L.B. Shappert e outros - ORNL - NSFC - 68 -
(1970)
- [5] Atom - n° 113 - março 1966 - UKAEA
- [6] Nuclear Engineering - Vol. 13 - janeiro - n° 140
- [7] Heat Removal from Reactors - James C. Glynn - Chem. Engg. Progr. 51
Symp.
- [8] Pressure Vessel Design - John F. Harvey - Van Nostrand Nuclear
Science Series
- [9] Directory of Nuclear Reactors - Vol. II - IAEA
- [10] Princípios da Transmissão de Calor - Frank Kreith - Ed. Edgard
Blücher Ltda. (1969) ©
- [11] Heat Transfer - J.P. Holman - Mc Graw-Hill Book Company - 1968
- [12] Heat Transfer - Ferj Jakob - John Wiley and Sons, Inc.
- [13] Dimensional Analysis and Theory of Models - Henry L. Langhaar - John
Wiley and Sons, Inc.
- [14] Chemical Engineer's Handbook - 4^a Ed. - John H. Perry
- [15] Fundamentals of Heat Transfer - M. Milkheyev - Peace Publishers -
Moscow
- [16] Heat Transmission - William Maldane - Mc Graw Hill Book Company, Inc.

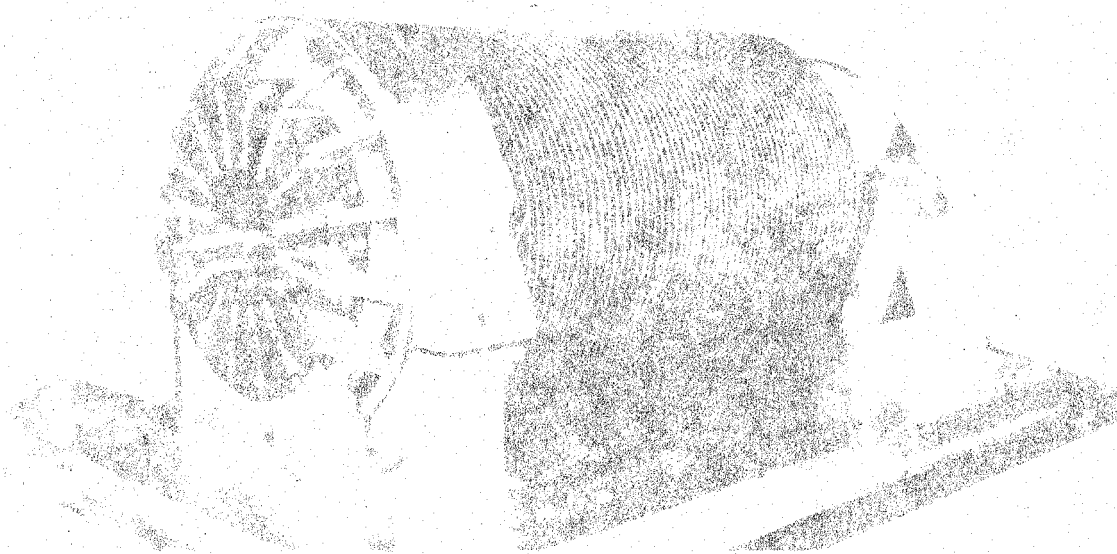
- [17] Nuclear Engineering Handbook - Vários autores - Harold Etherington
-- Editor
- [18] Progress in Nuclear Energy - Metallurgy and Fuels - Mc Graw Hill
- [19] Transmissão do Calor - Renato Salmoni - Ed. Mestre Jou - 1966.

6

•YF•

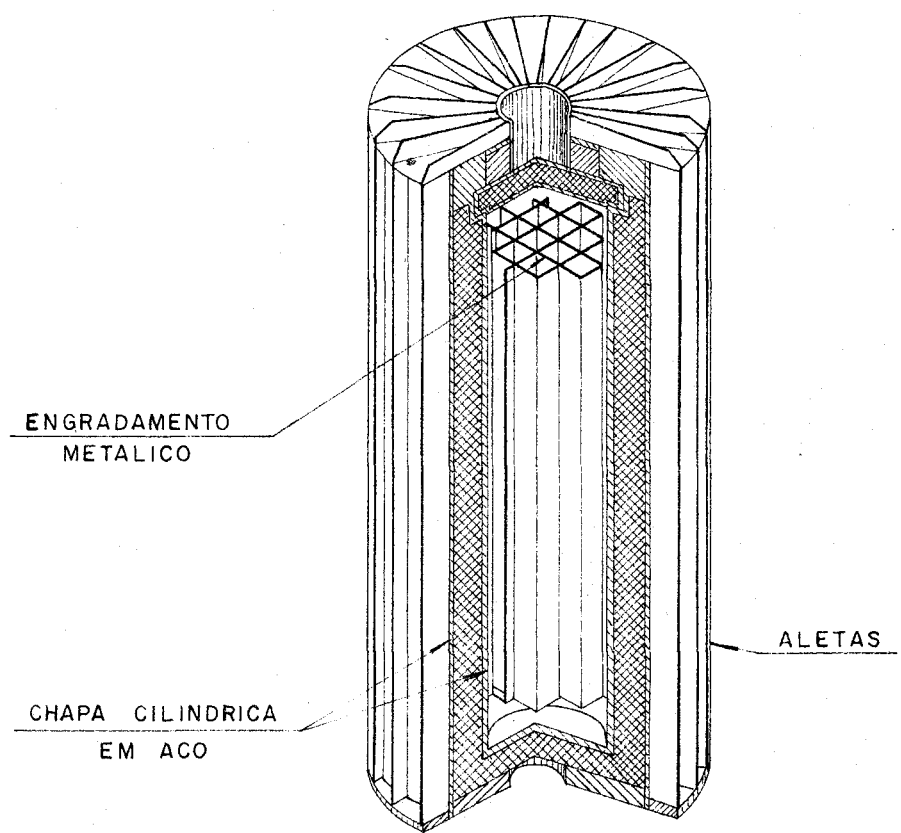


RECIPIENTE QUE TRANSPORTA ELEMENTOS COMBUSTÍVEIS
EM POSIÇÃO VERTICAL



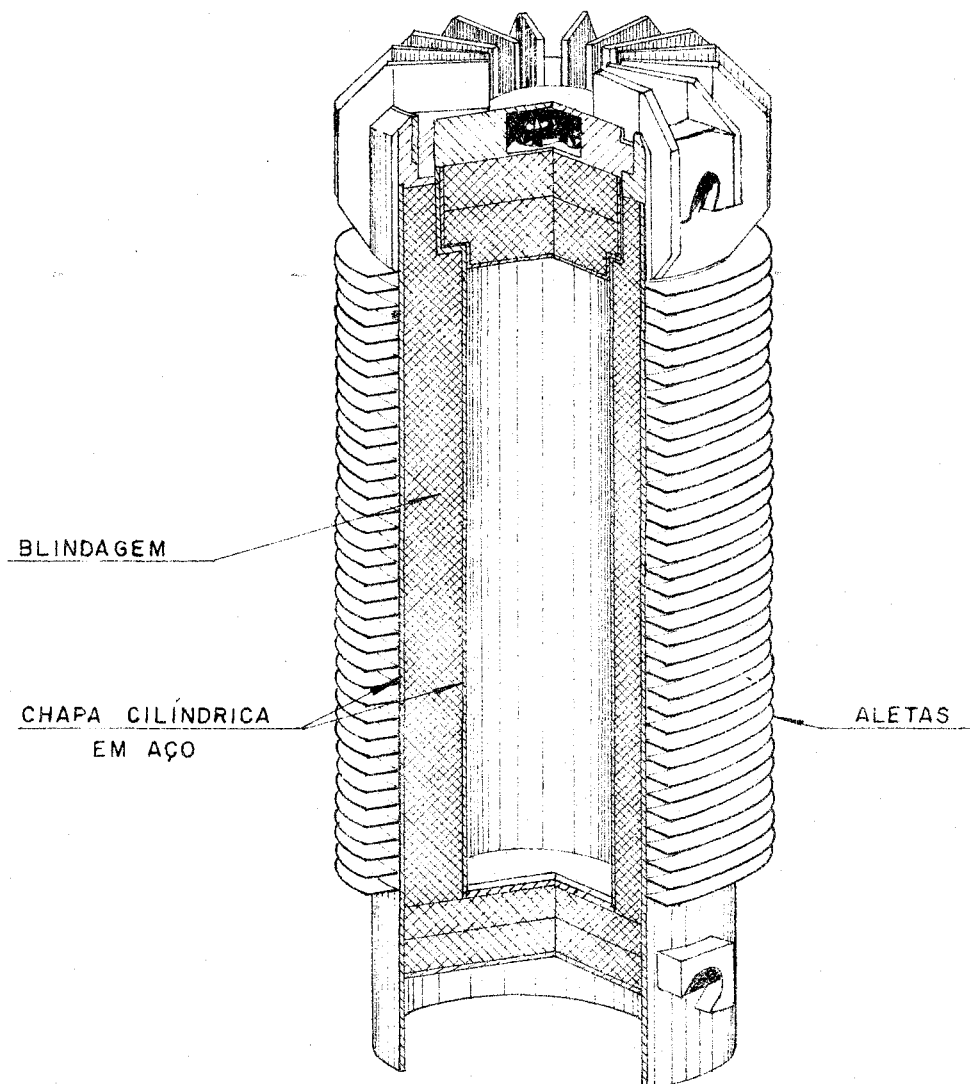
RECIPIENTE QUE TRANSPORTA ELEMENTOS COMBUSTÍVEIS
EM POSIÇÃO HORIZONTAL

(FIG-1)



RECIPIENTE COM ALETAS LONGITUDINAIS

(FIG-2)



RECIPIENTE COM ALETAS CIRCULARES

(FIG-3)

1. *Chlorophytum comosum* (L.) Willd. (Asparagaceae) -
This plant is a common species found throughout the region. It has a dense cluster of long, narrow, linear leaves at the base, and a single, upright, branched inflorescence with numerous small, white flowers.

2. *Crinum asiaticum* L. (Amaryllidaceae) -
This is a large, robust plant with a thick, bulbous rhizome. It features broad, lanceolate leaves and a tall, erect inflorescence bearing numerous star-shaped flowers.

3. *Crinum asiaticum* L. (Amaryllidaceae) -
This is a large, robust plant with a thick, bulbous rhizome. It features broad, lanceolate leaves and a tall, erect inflorescence bearing numerous star-shaped flowers.

4. *Crinum asiaticum* L. (Amaryllidaceae) -
This is a large, robust plant with a thick, bulbous rhizome. It features broad, lanceolate leaves and a tall, erect inflorescence bearing numerous star-shaped flowers.

5. *Crinum asiaticum* L. (Amaryllidaceae) -
This is a large, robust plant with a thick, bulbous rhizome. It features broad, lanceolate leaves and a tall, erect inflorescence bearing numerous star-shaped flowers.

6. *Crinum asiaticum* L. (Amaryllidaceae) -
This is a large, robust plant with a thick, bulbous rhizome. It features broad, lanceolate leaves and a tall, erect inflorescence bearing numerous star-shaped flowers.

Classificadas los grupos para transporte 140

Nº Atómico	Meia Vida Física
O a 1000 dias	1000 a 10^6 dias anos
I - 81	grupo II
Ca e actina	grupo I

- Fig. 6

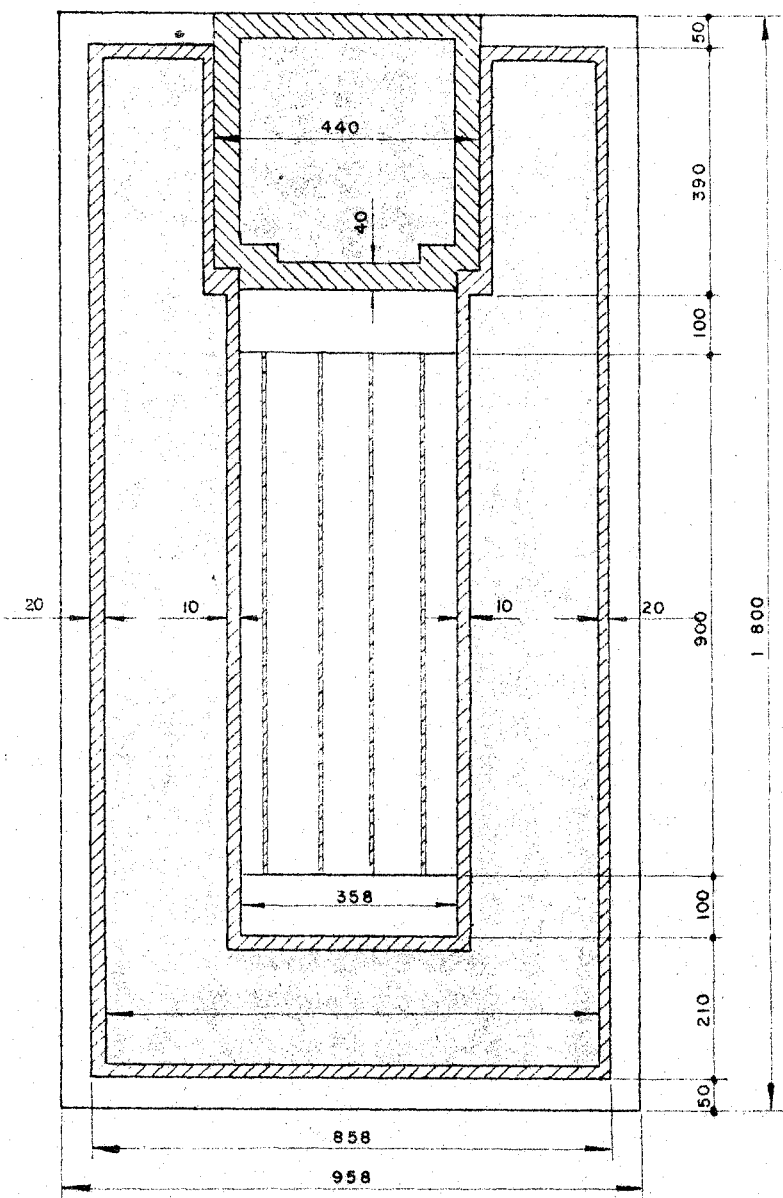
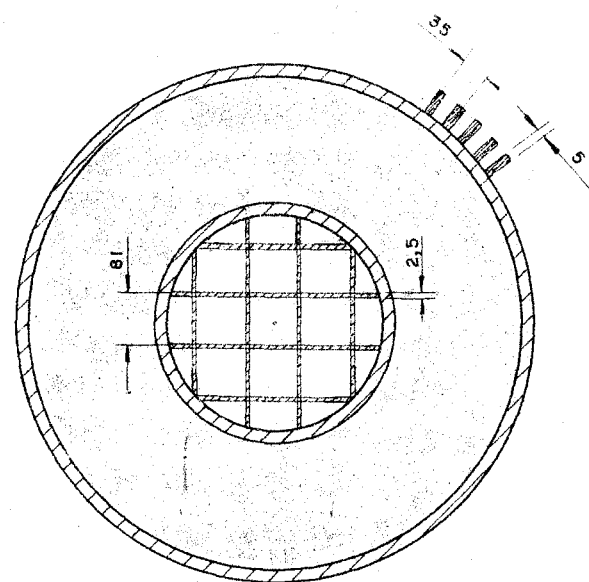
limitações para o corte e transportar

que por e forma especial
de material radiativo

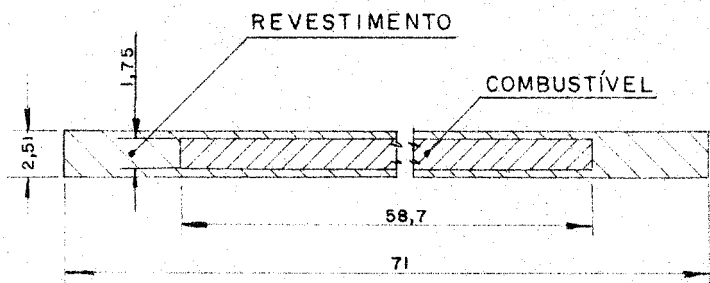
	Embalaje tipo A	Embal. tipo B
Grupo I	0,001	80
Grupo II	0,05	80
Grupo III	3	800
Grupo IV	20	80.00
formato especial de 3		
Grupos I + II	20	6000
Grupo III	20	5.000
Grupo II	1000	50.000
Grupo III	1000	50.000

Fig. 3.

RECIPIENTE COM AS DIMENSÕES PRINCIPAIS

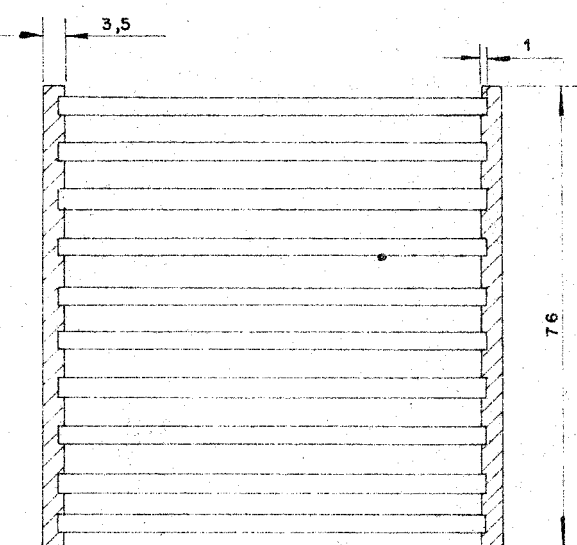


(FIG-8)

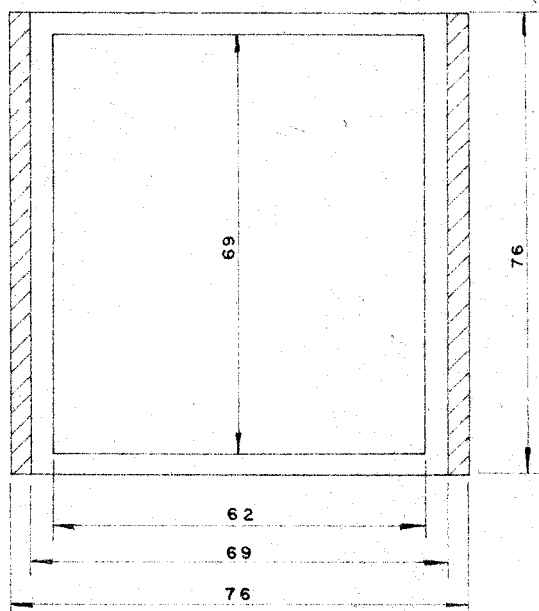


CORTE DA PLACA COMBUSTÍVEL

ESCALA - 2,5:1

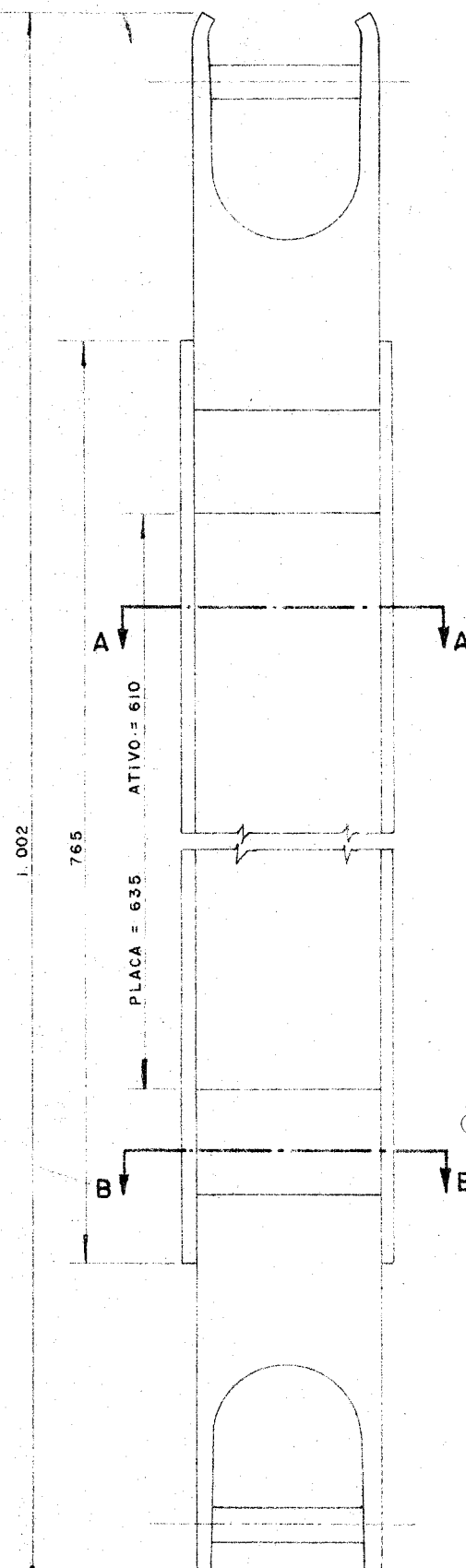


CORTE A-A ELEMENTO COMBUSTÍVEL



CORTE - BB

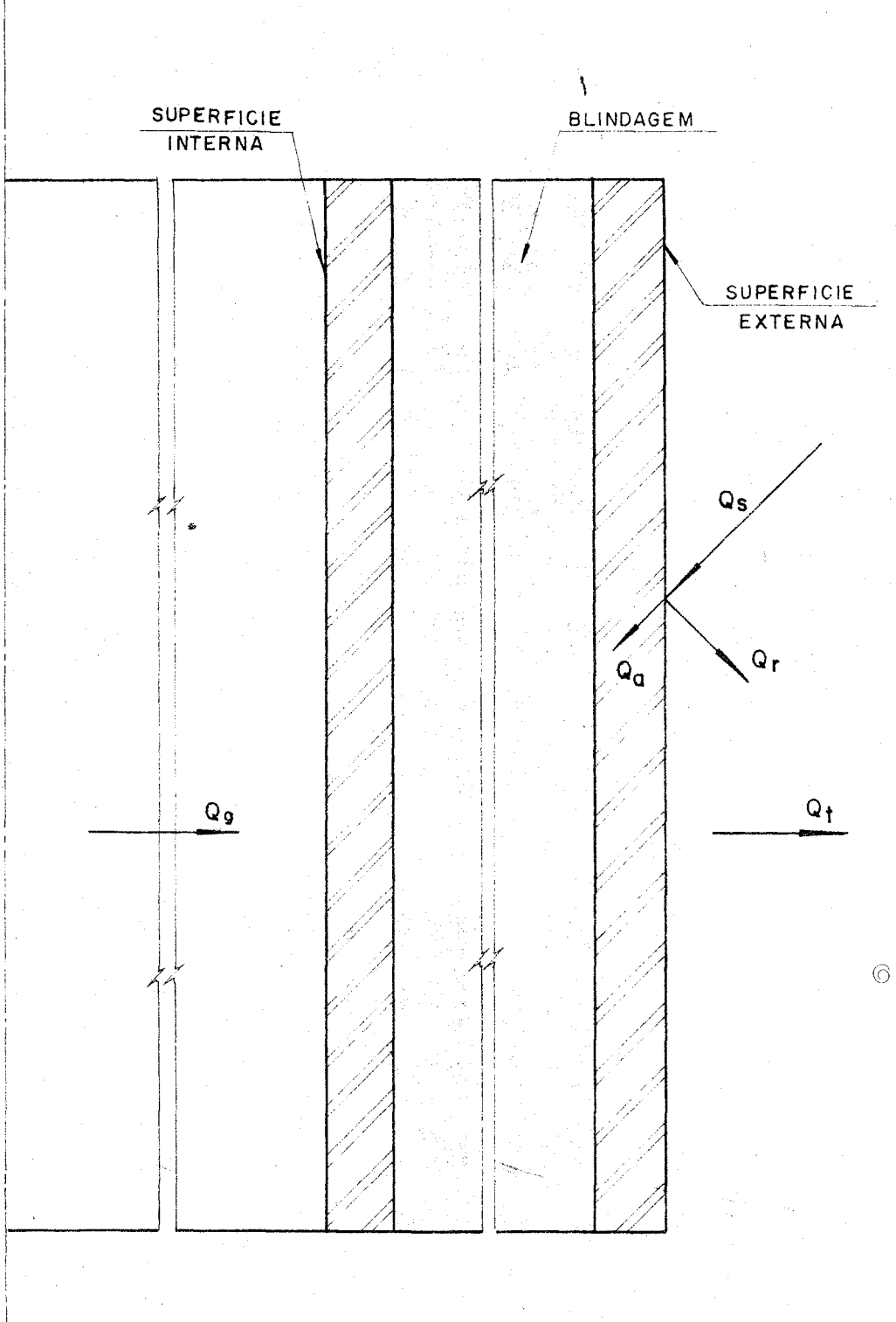
ESCALA - 1:1,25



ESCALA - 1:2,5

ELEMENTO COMBUSTÍVEL DE REFERENCIA DO REATOR JEN-1

(FIG-9)



Q_s - Taxa de Calor Solar

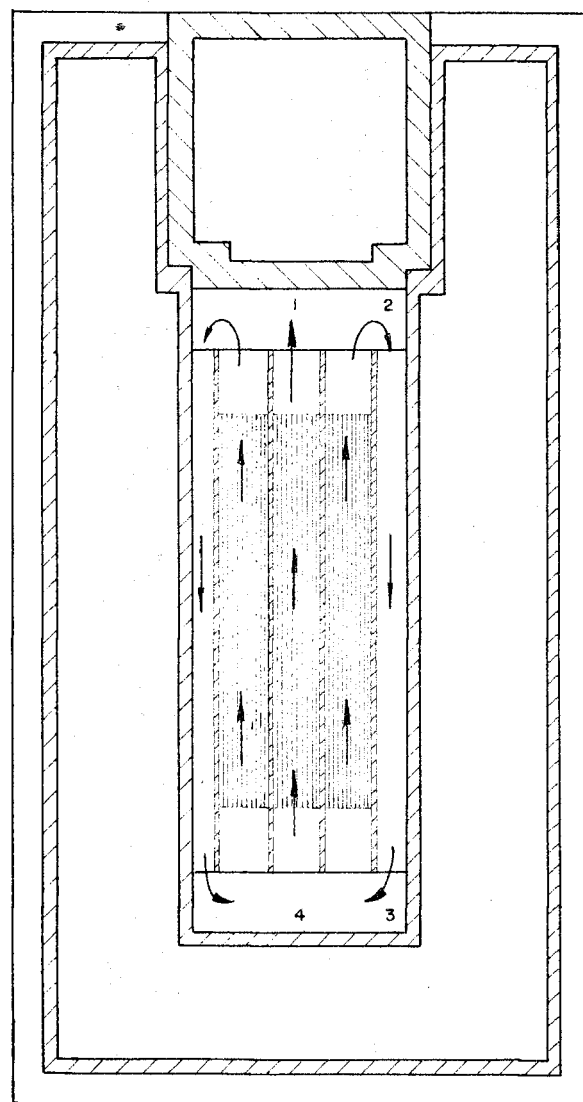
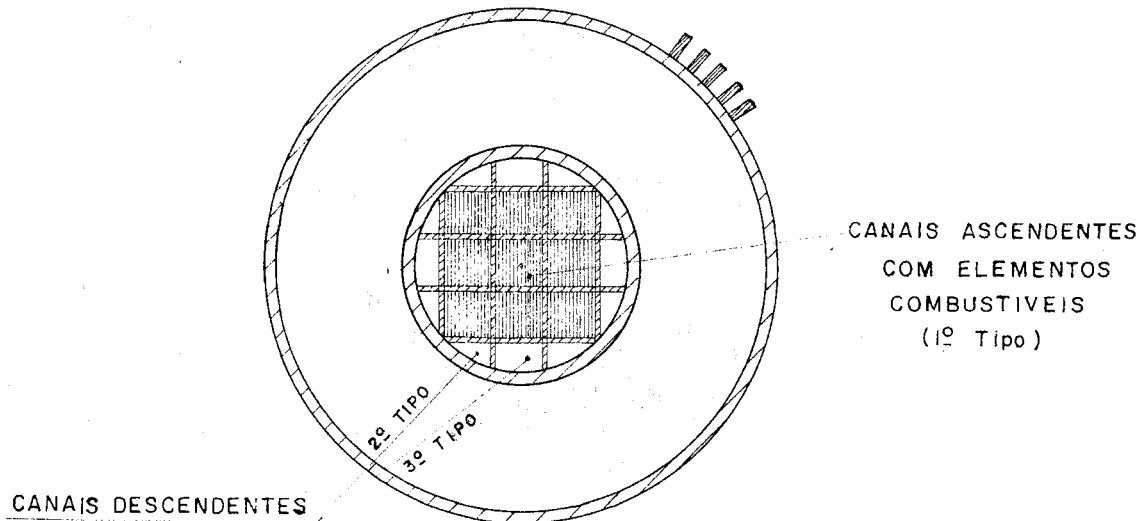
Q_a - Taxa de Calor Solar Absorvido

Q_r - Taxa de Calor Solar Refletido

Q_g - Taxa de Geração de Calor

Q_t - Taxa Total de Dissipação de Calor

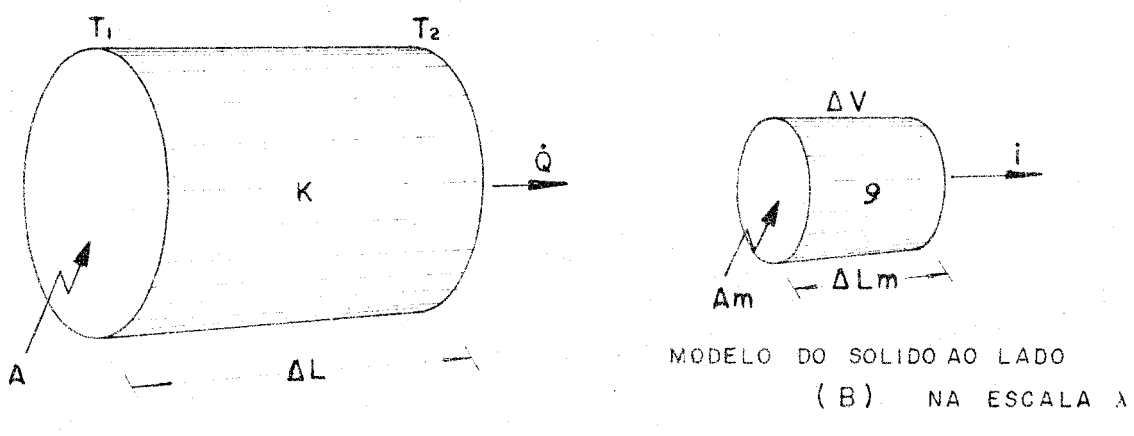
(FIG-10)



CIRCULAÇÃO DO FLUIDO REFRIGERANTE NOS CANAIS

(FIG-11)

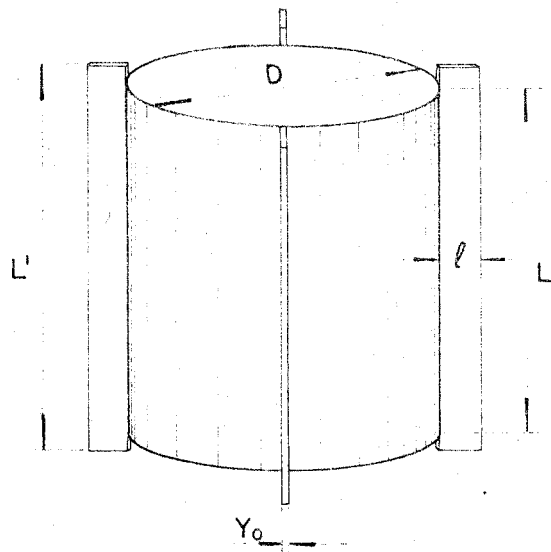
Alvaro



(A)

MODELO DO SOLIDO AO LADO
(B) NA ESCALA λ

(FIG-12)

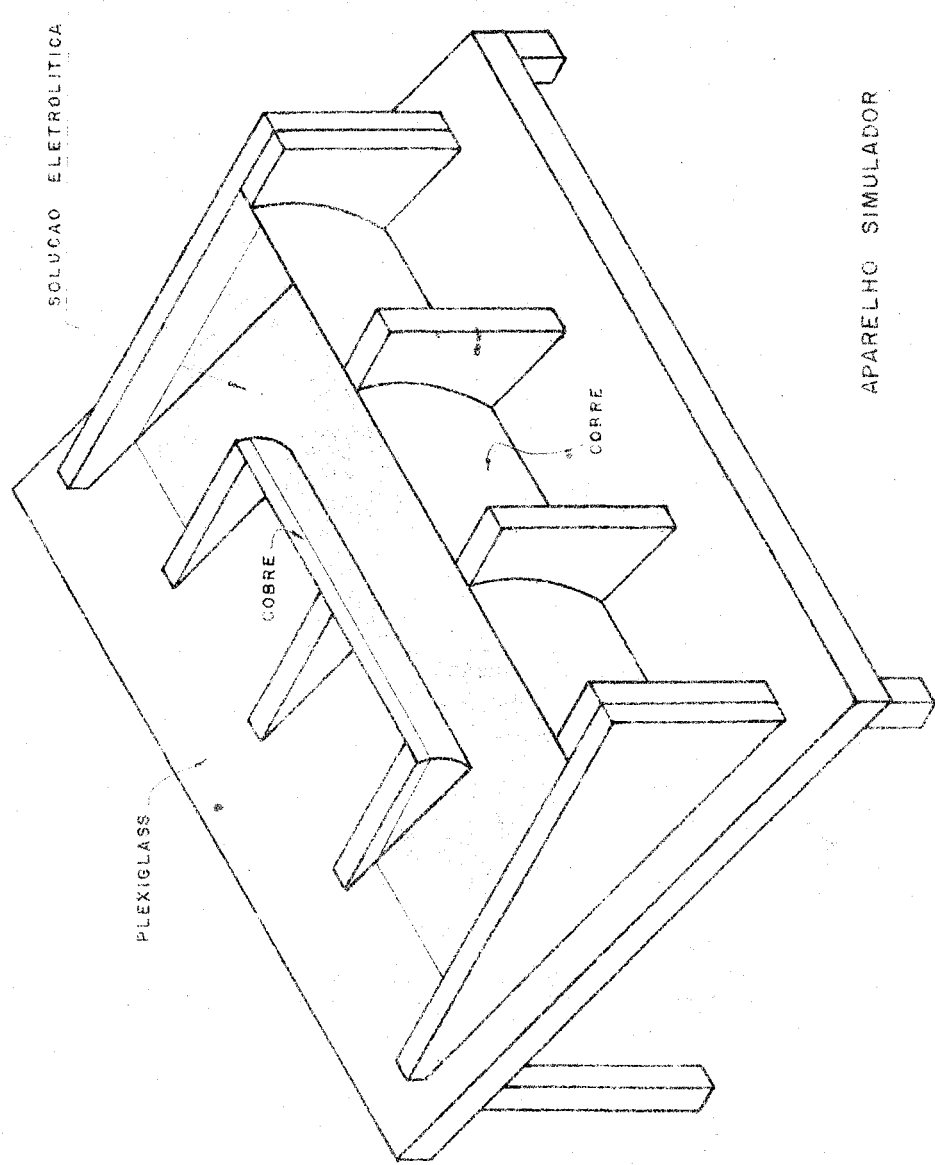


NOMENCLATURA PARA RECIPIENTE ALETADO

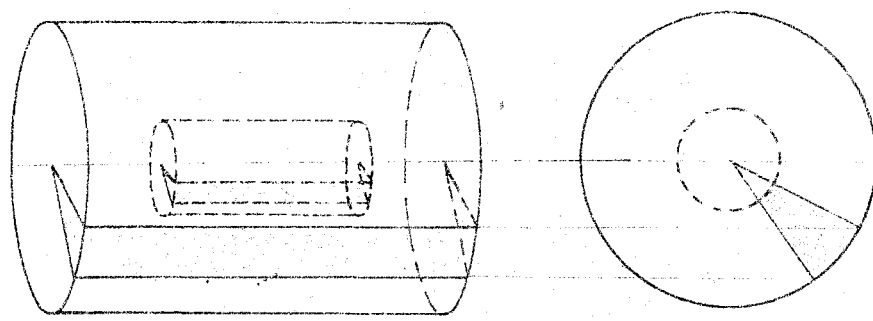
(FIG-13)

Akcasu

A APARELHO SIMULADOR COMPLETO
EVIDENCIANDO A PARTE
REALMENTE CONSTRUIDA



APARELHO SIMULADOR



(FIG-14)

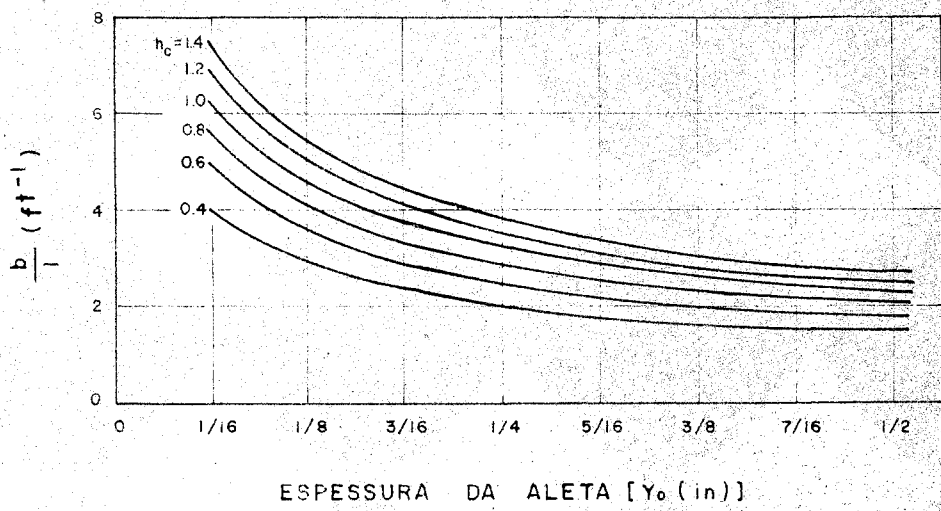
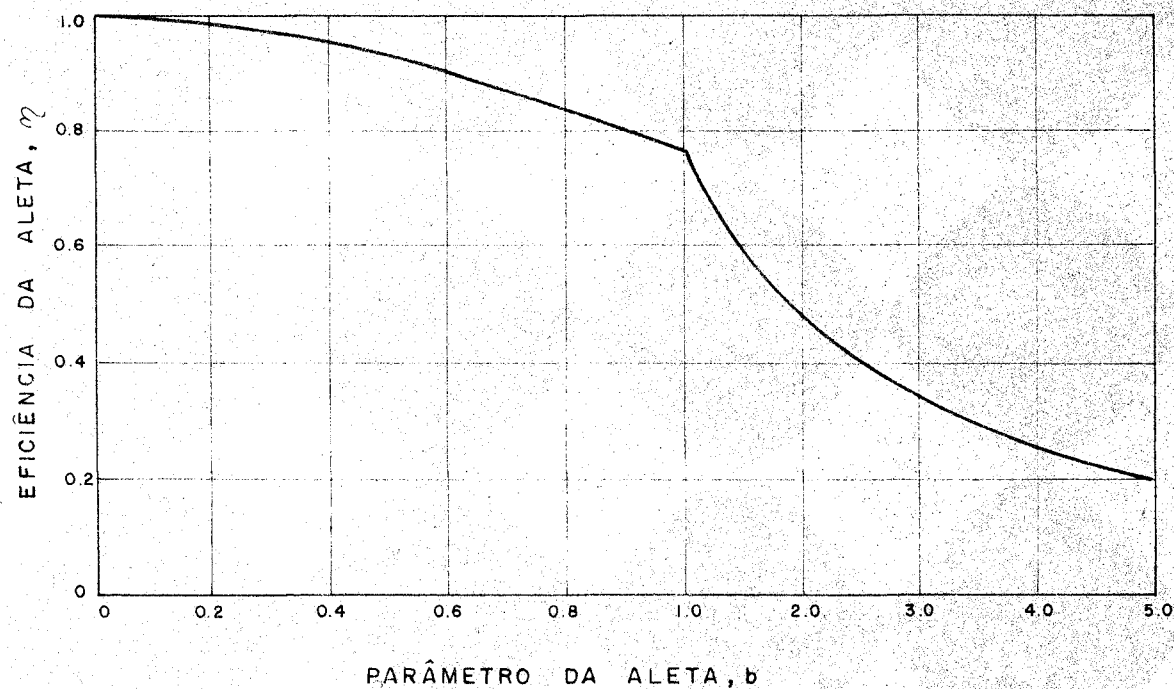


GRÁFICO DE (PARÂMETRO DA ALETA/COMPRIMENTO DA ALETA) PARA ALETAS LONGITUDINAIS DE PERfil RETANGULAR, 304 SS

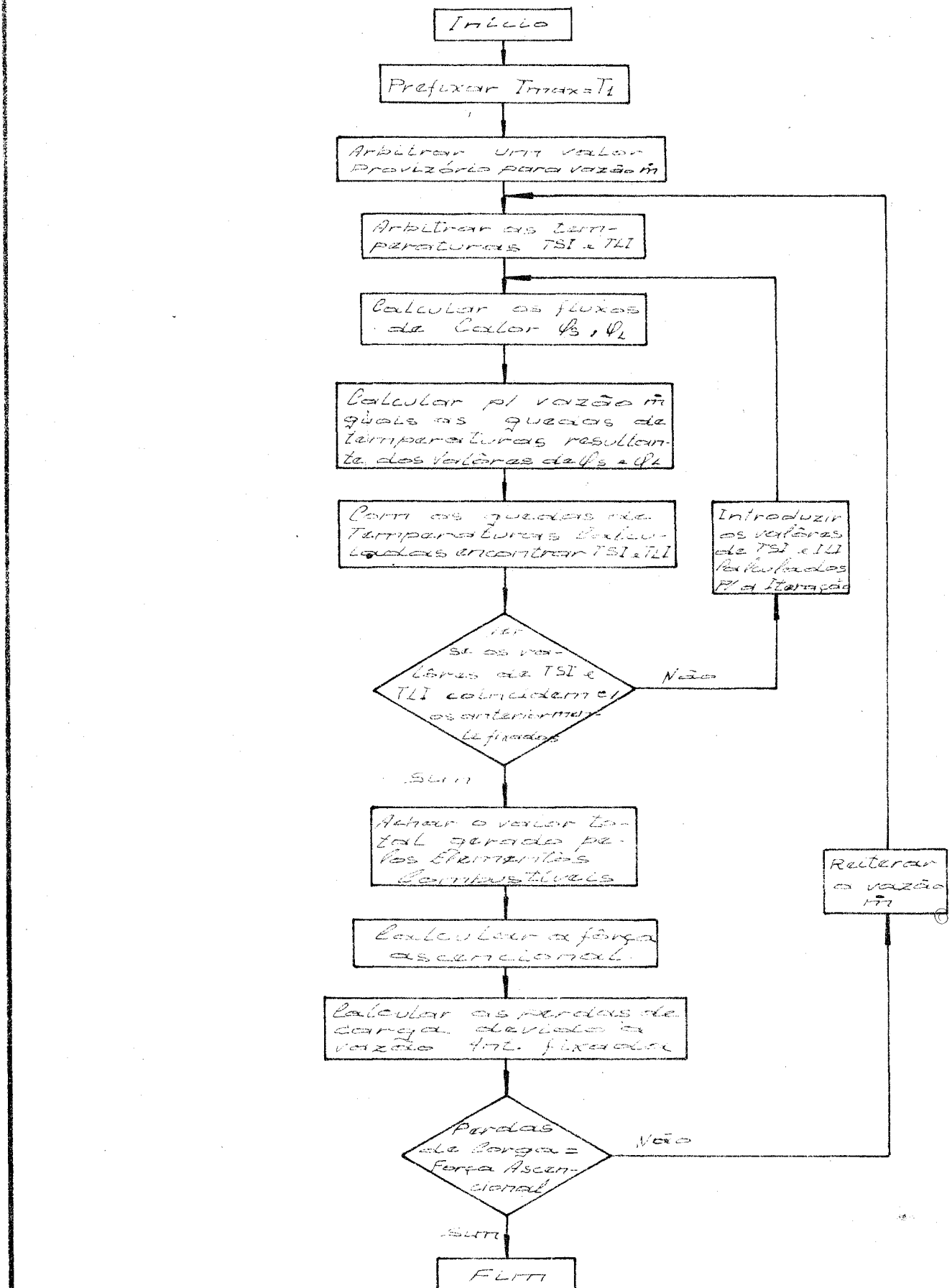
(FIG-15)



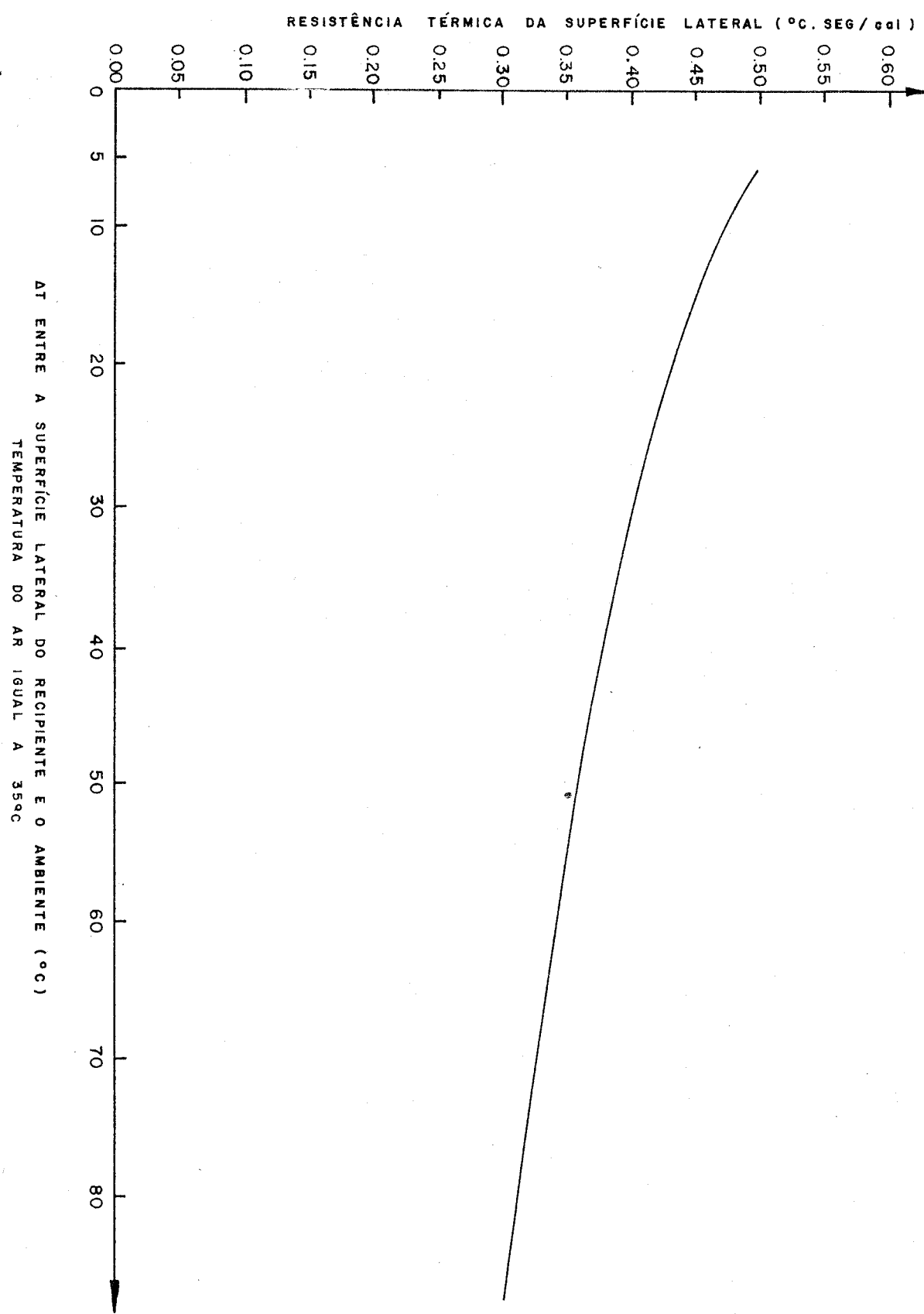
EFICIÊNCIA PARA ALETAS RETAS DE SEÇÃO RETANGULAR VS PARÂMETRO DA ALETA

(FIG-16)

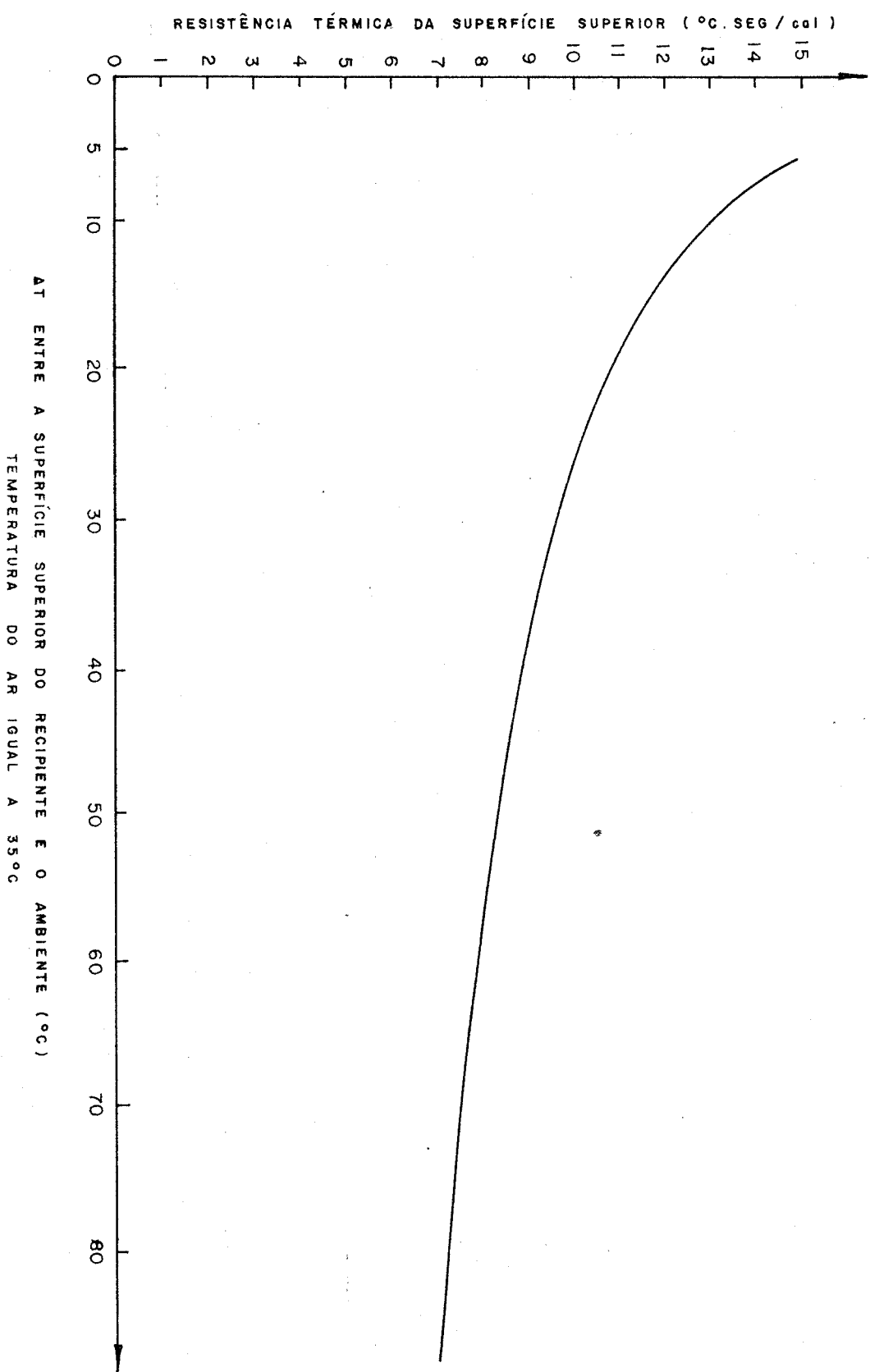
ALVO



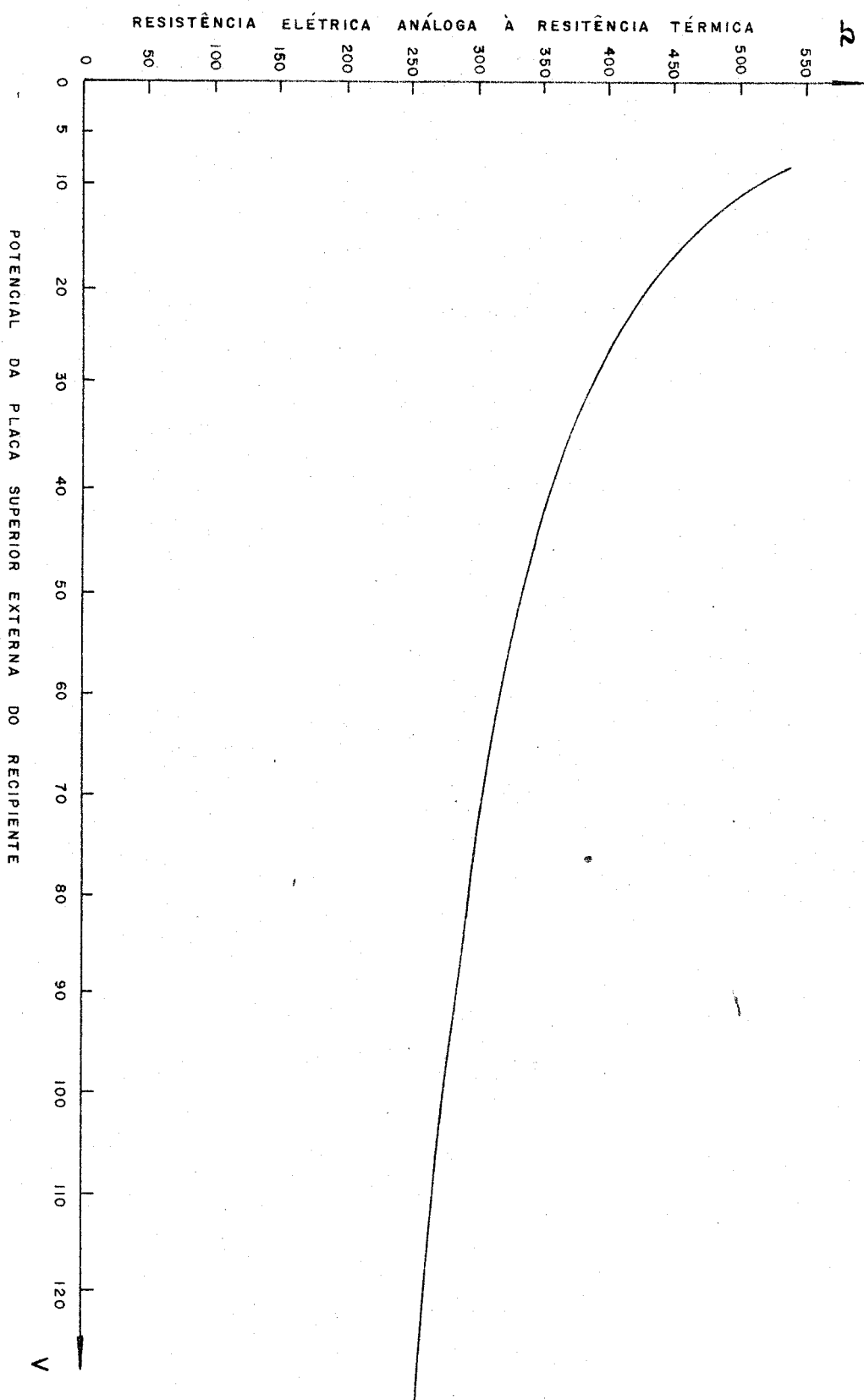
(FIG-18)



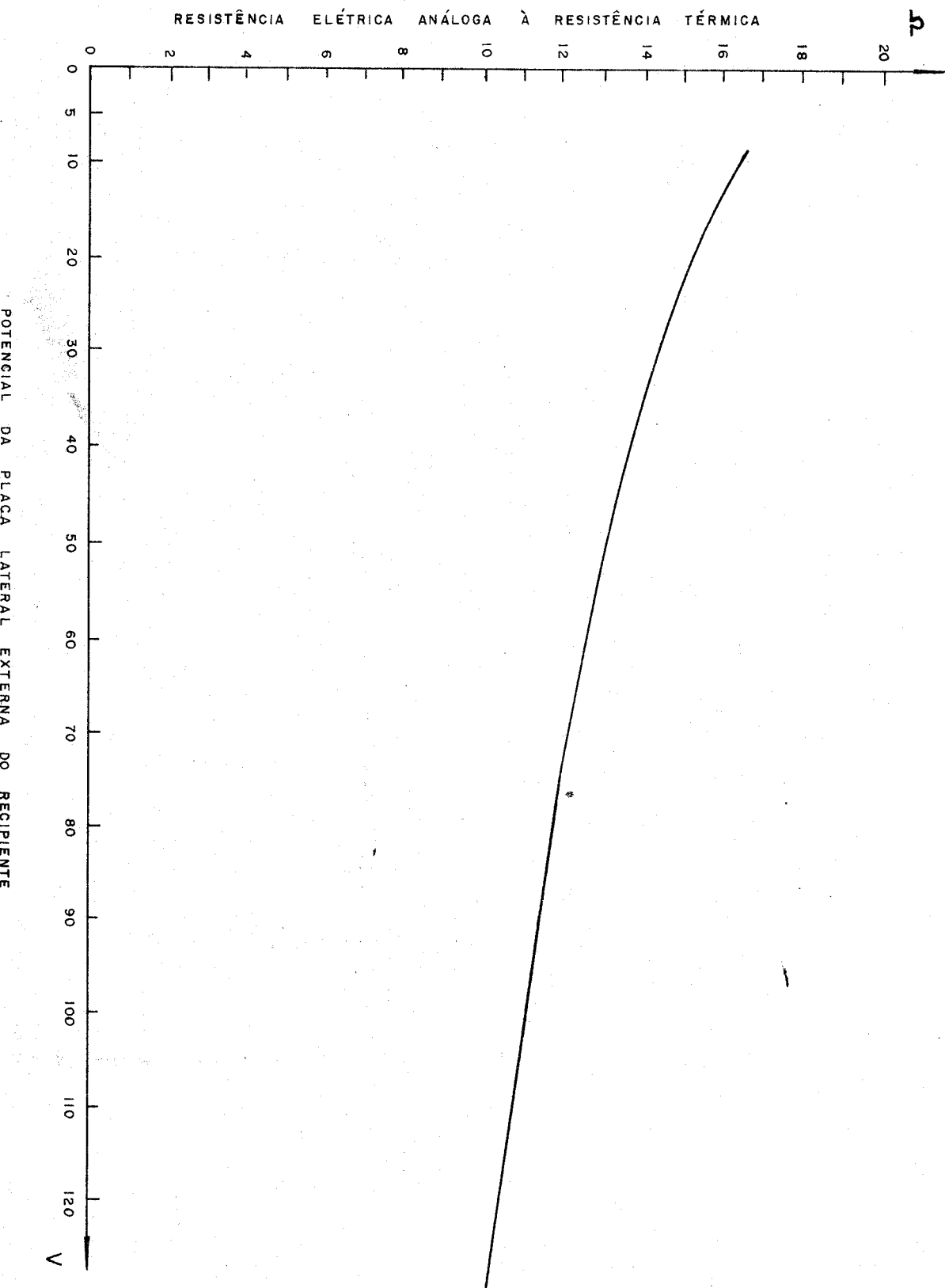
(FIG-19)

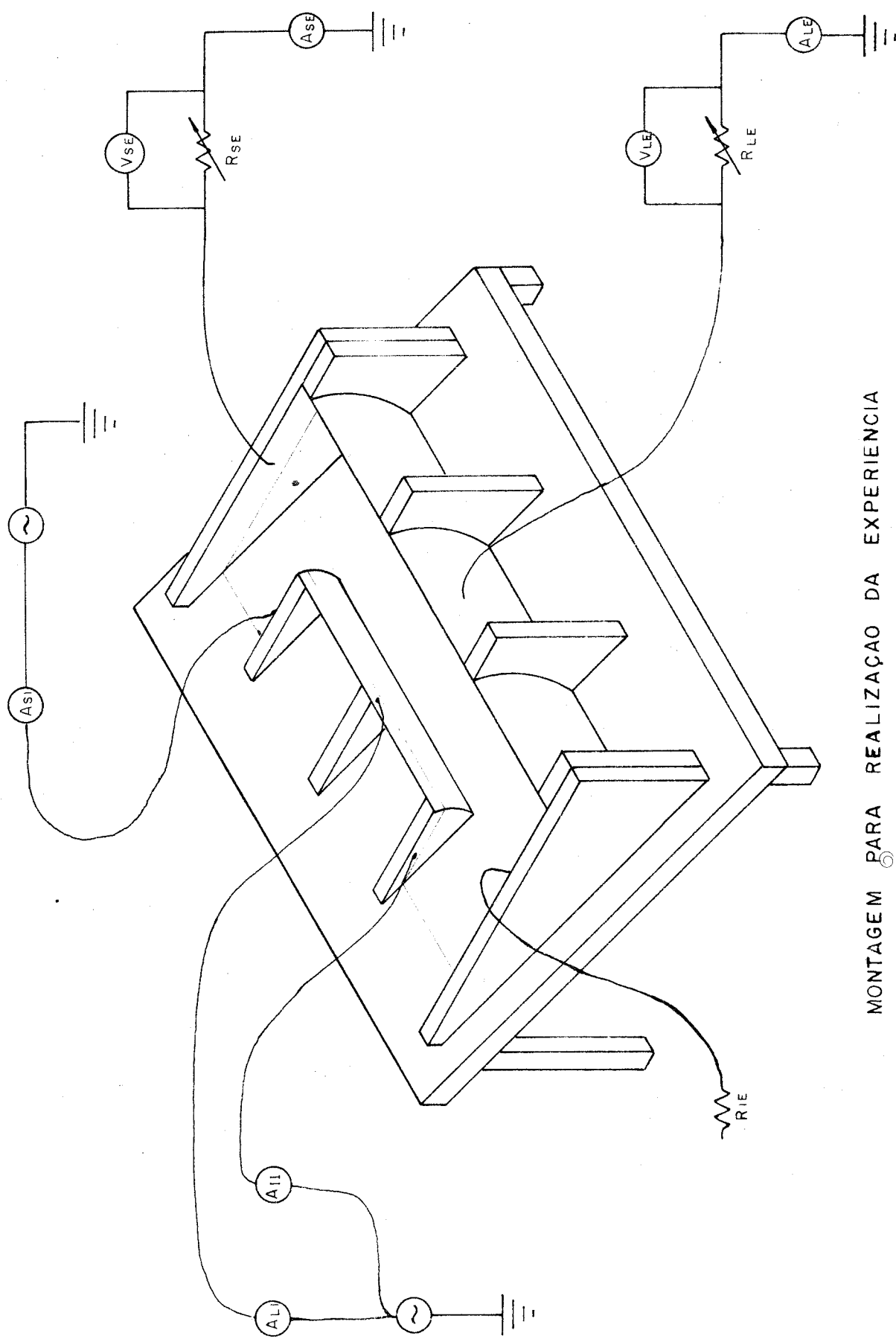


(FIG-20)



(FIG-21)

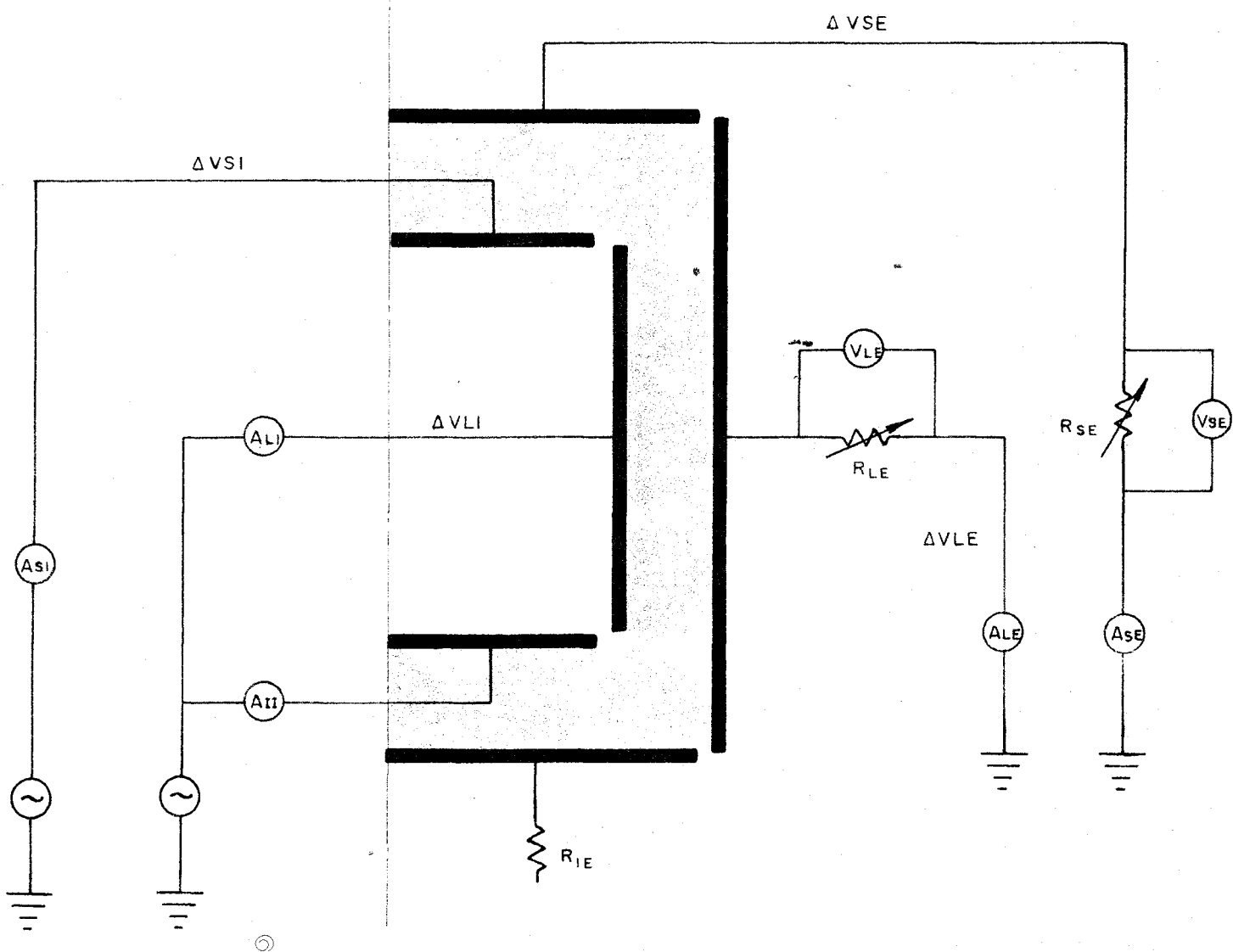


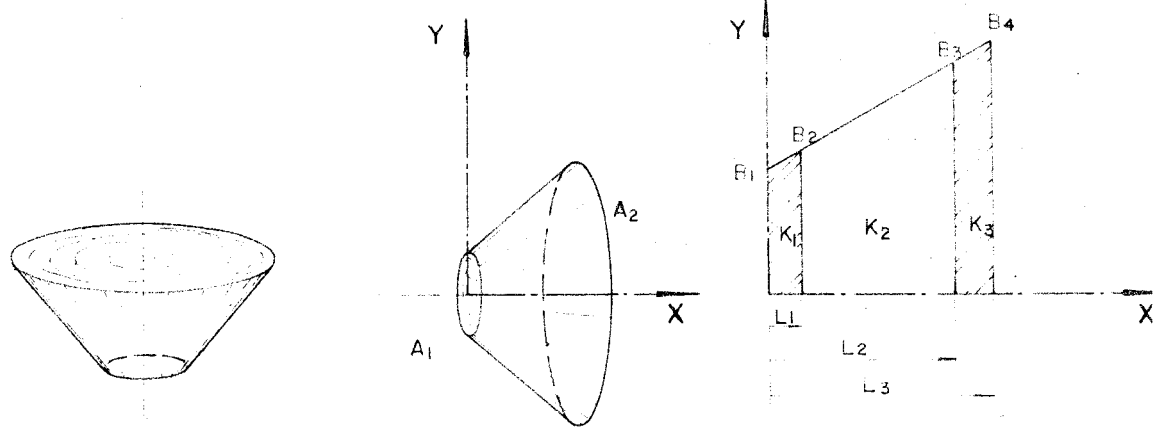


(FIG-22)

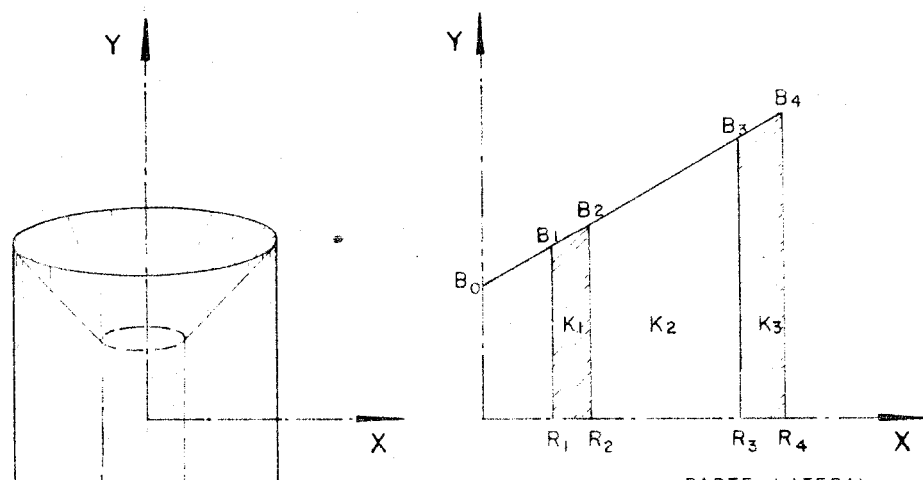
MONTAGEM PARA REALIZAÇÃO DA EXPERIÊNCIA

CIRCUITO ELETRICO DA EXPERIÊNCIA



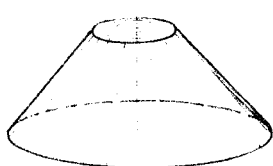


PARTE SUPERIOR

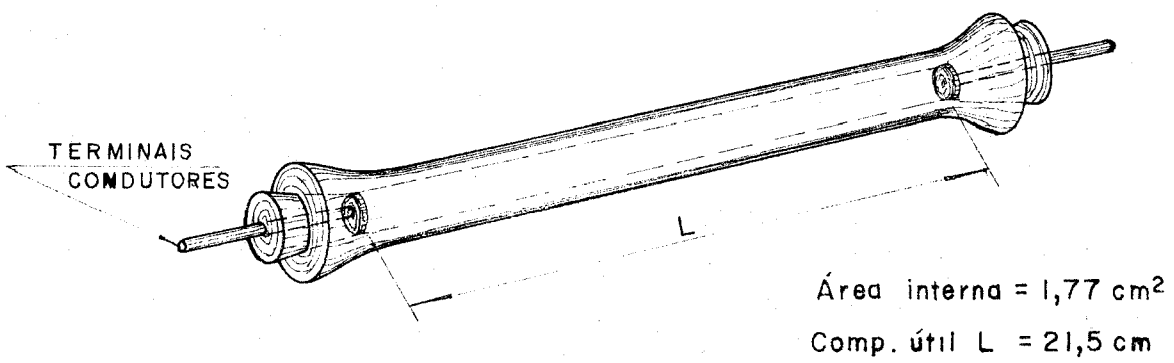


PARTE LATERAL

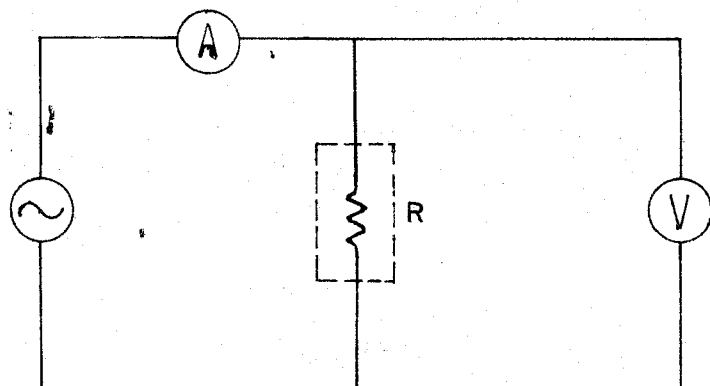
RECIPIENTE CILÍNDRICO ÔCO, QUANDO
SE RETIRAM DOIS TRONCOS DE CONES,
PARA EFEITO DE CÁLCULO DAS CON-
DUTIVIDADES EFETIVAS, SUPERIOR E
LATERAL



(FIG-24)

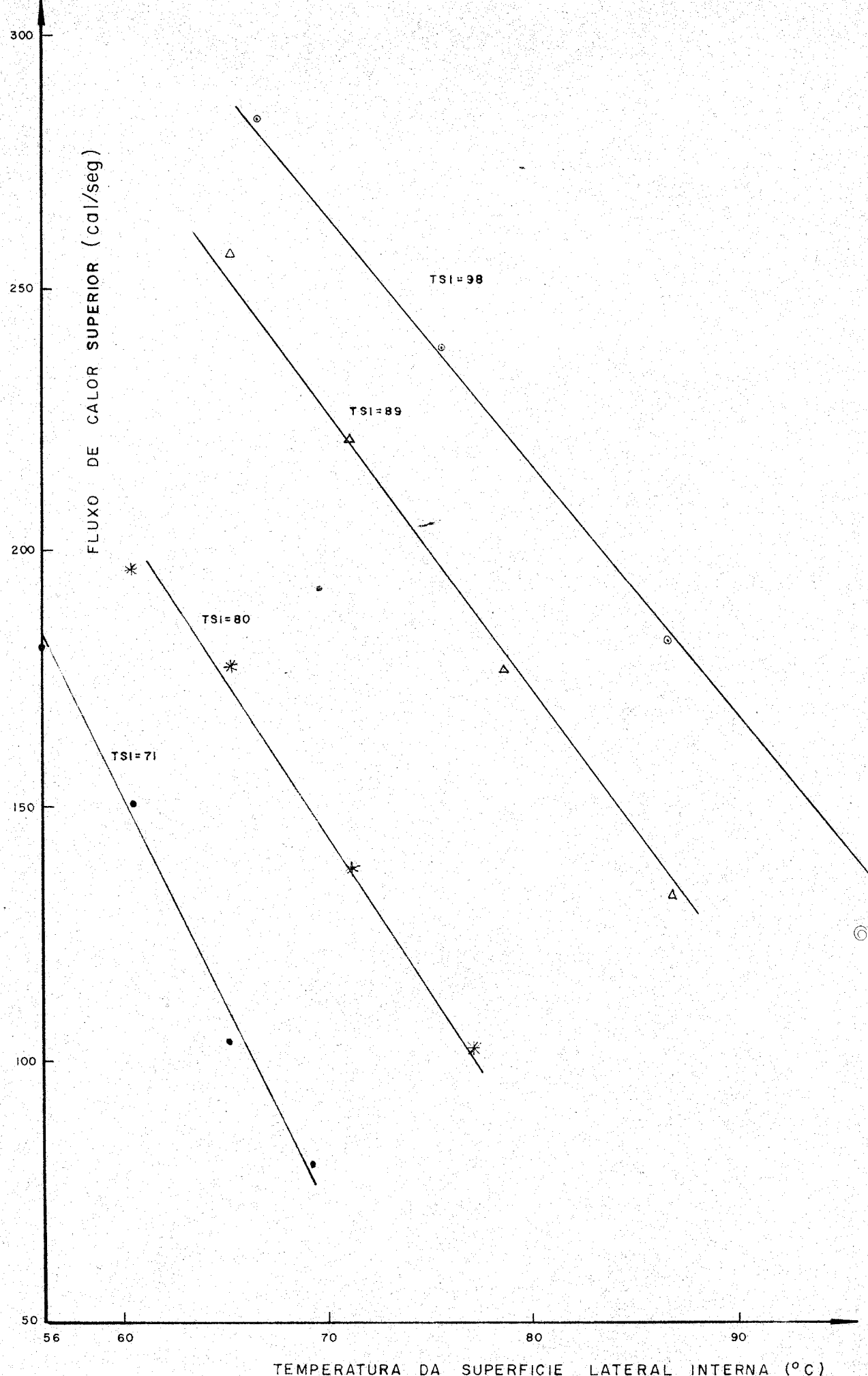


(FIG - 25)

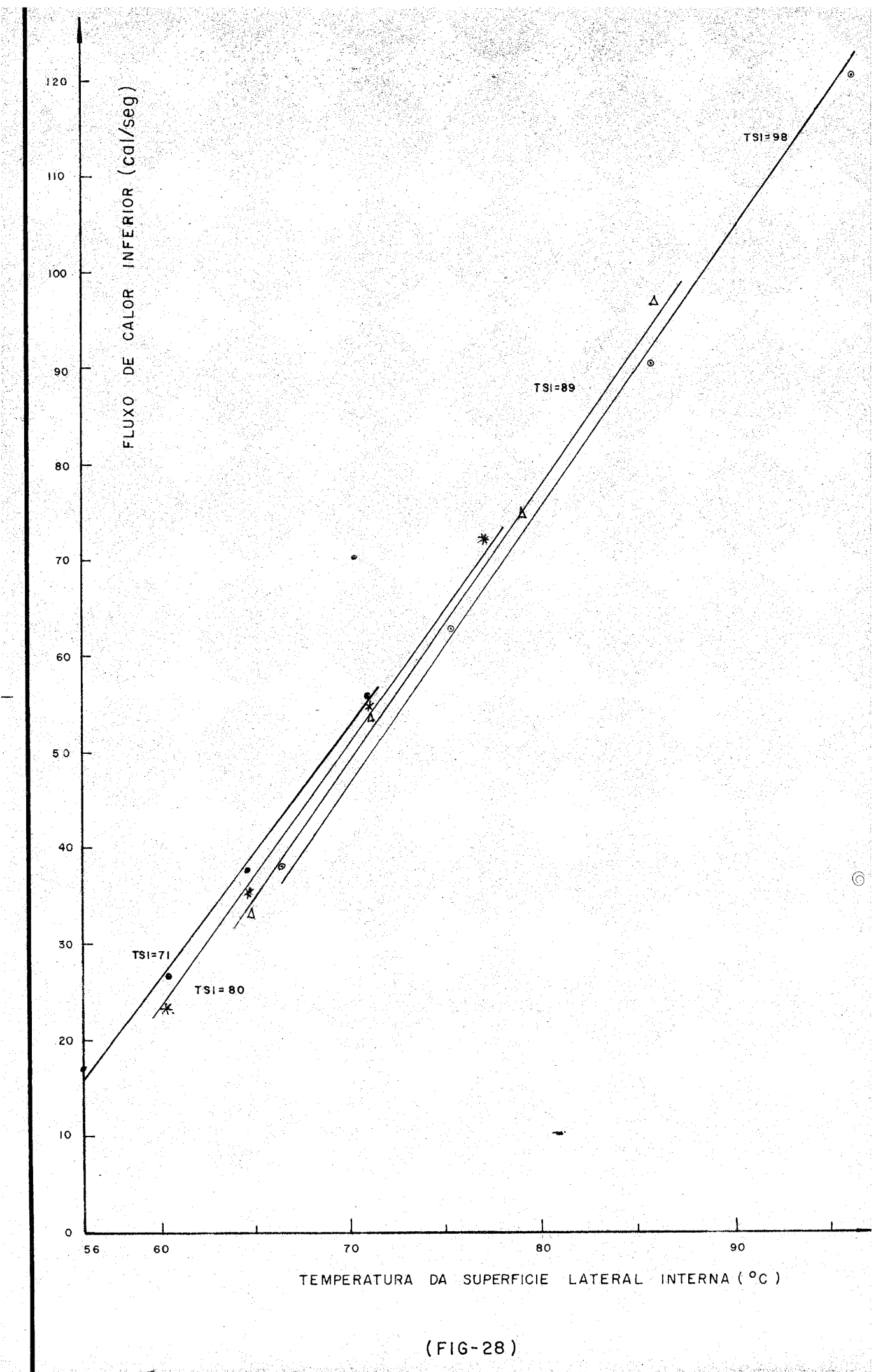


ESQUEMA ELÉTRICO PARA DETERMINAÇÃO DA
RESISTIVIDADE DA SOLUÇÃO ELETROLÍTICA

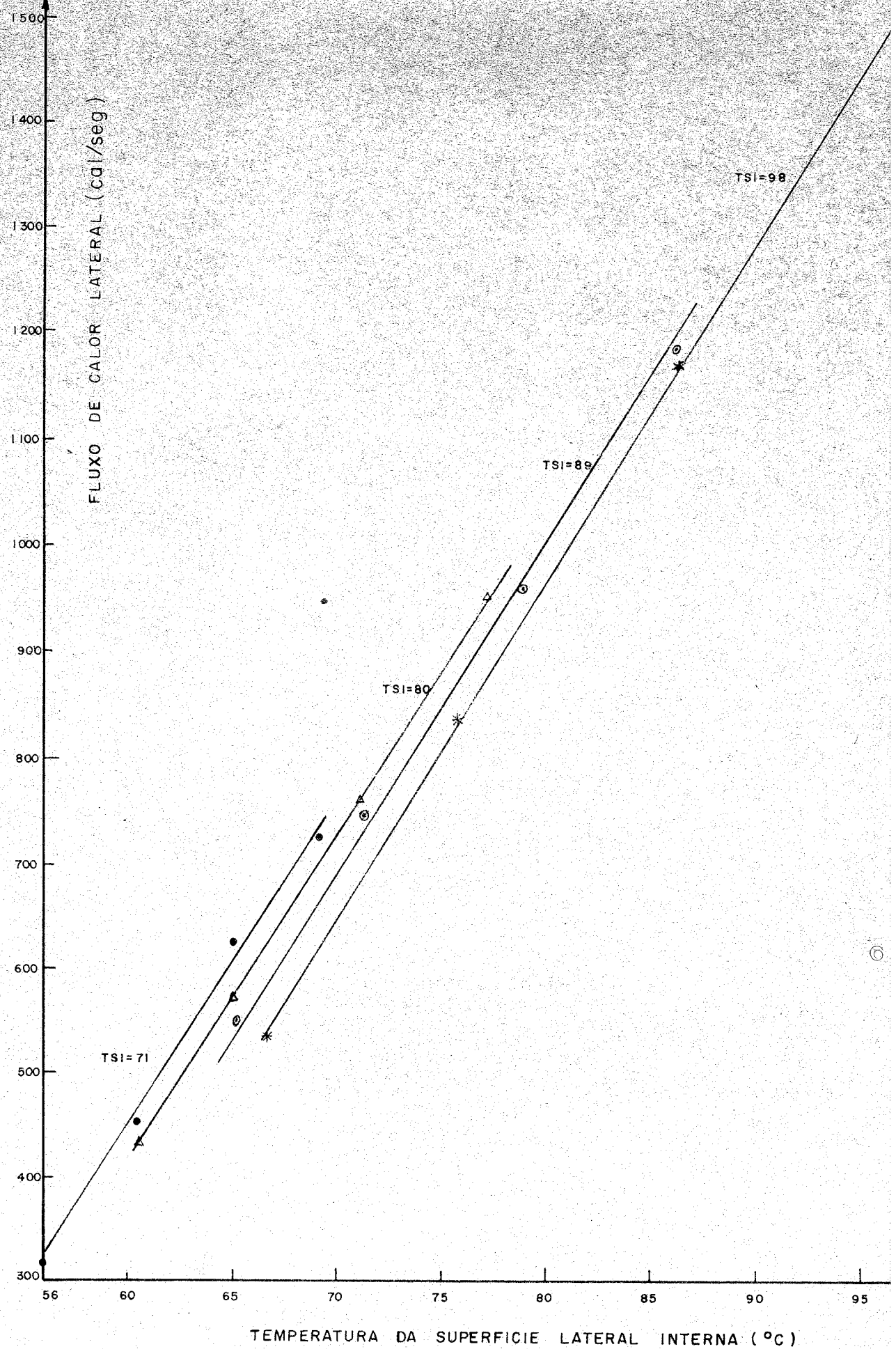
(FIG - 26)



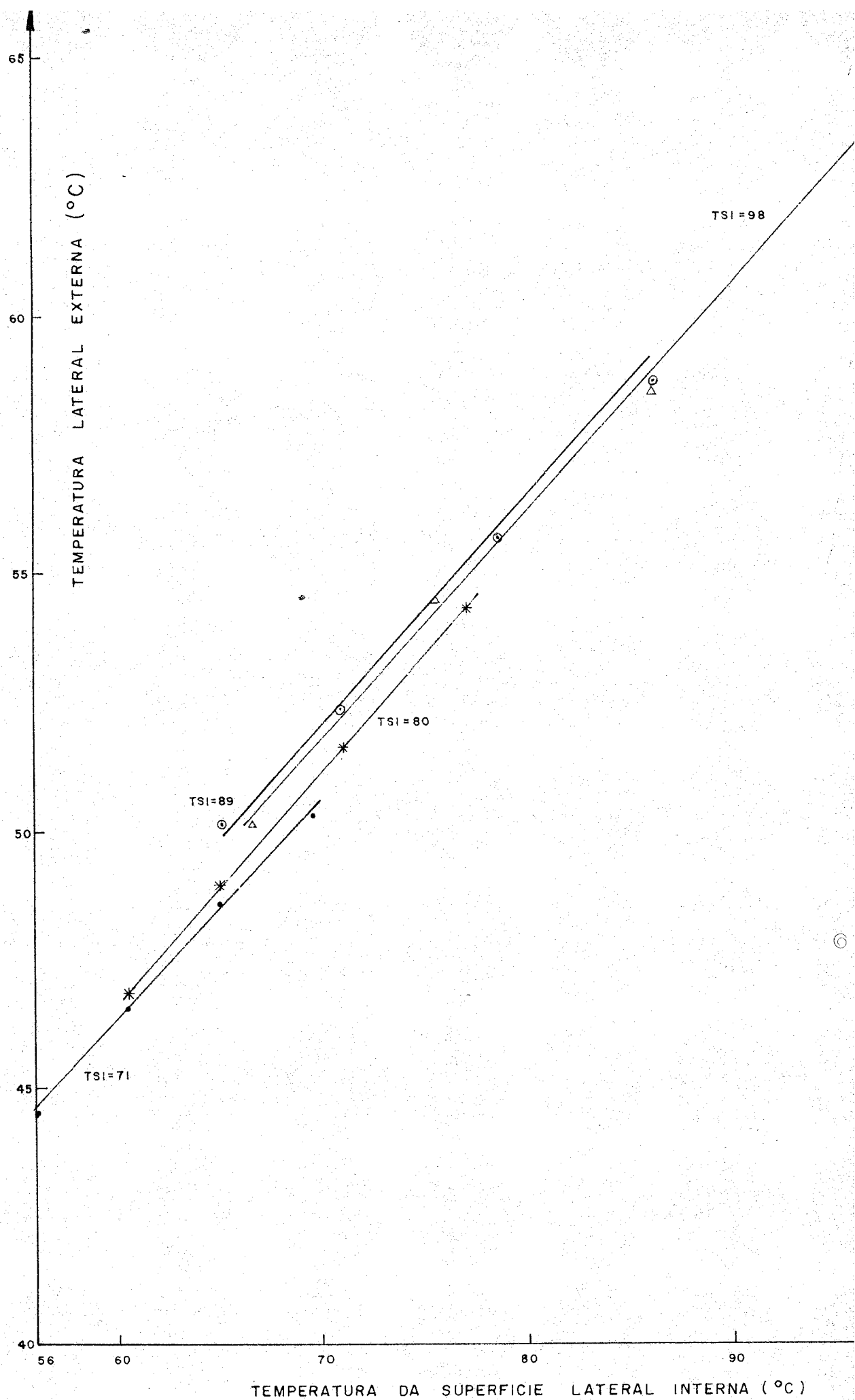
(FIG-27)



(FIG-28)

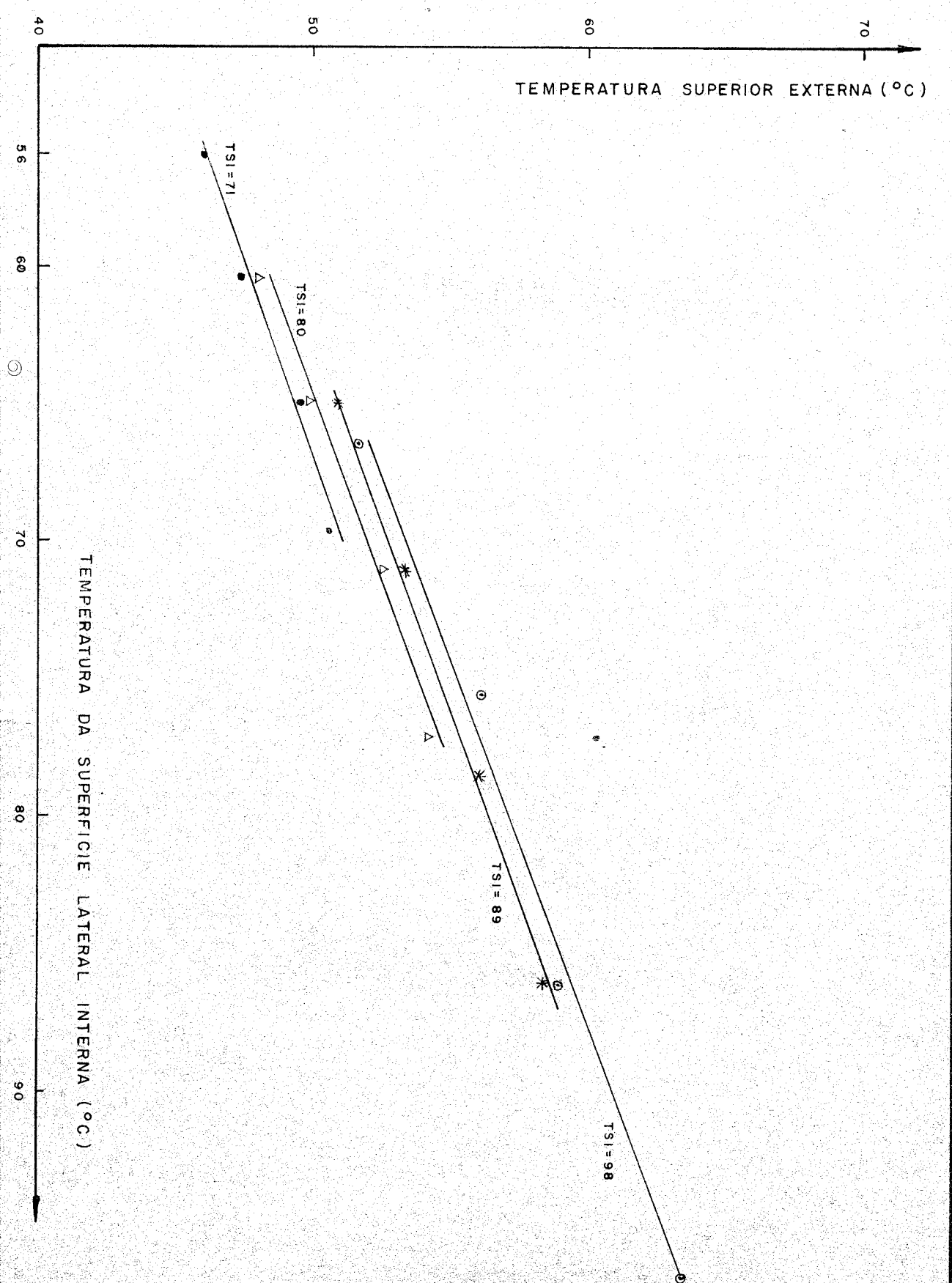


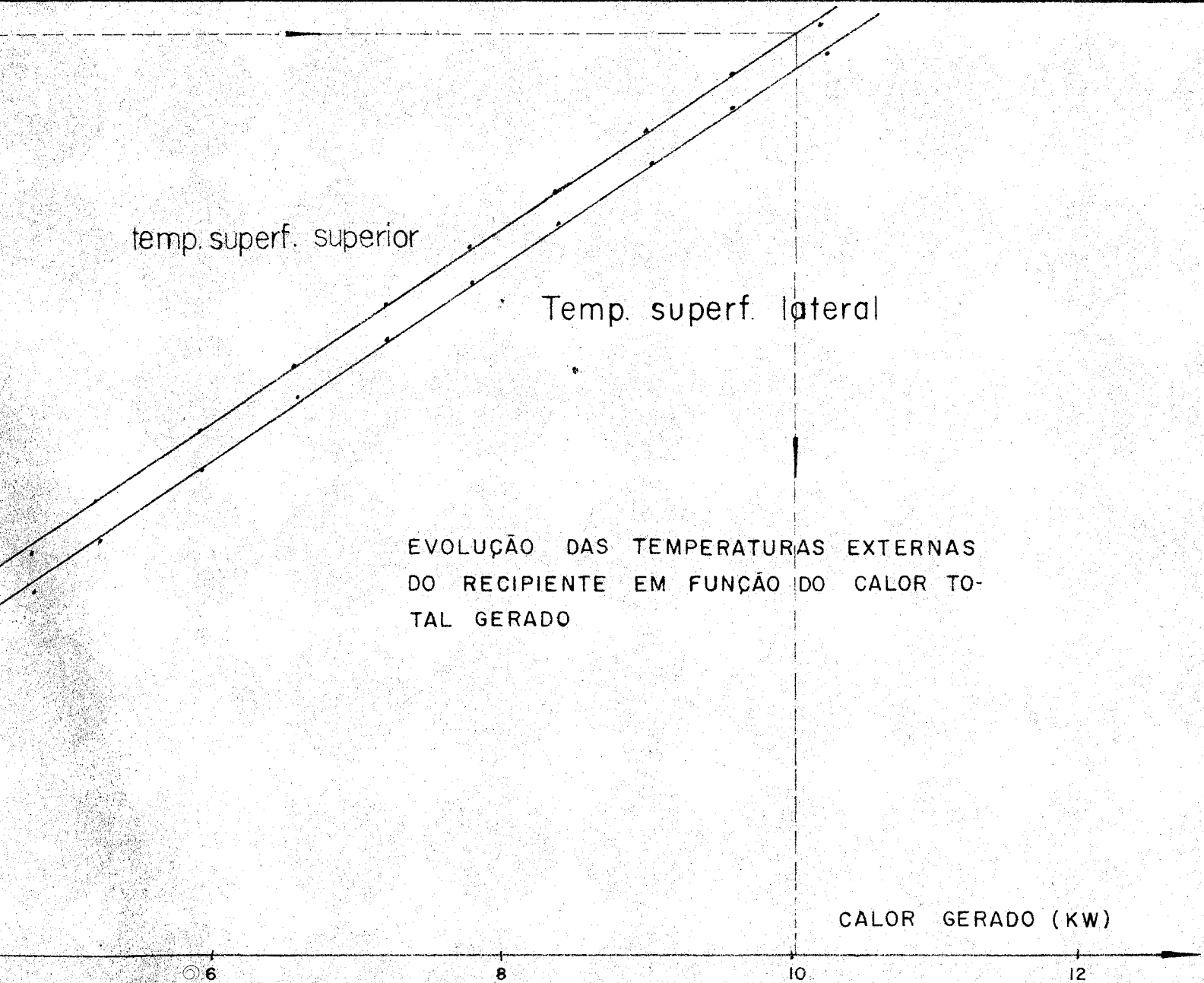
(FIG-29)



(FIG-30)

(FIG-31)





TEMPERATURA NO ELEMENTO
COMBUSTÍVEL EM FUNÇÃO DO CALOR TOTAL
GERADO

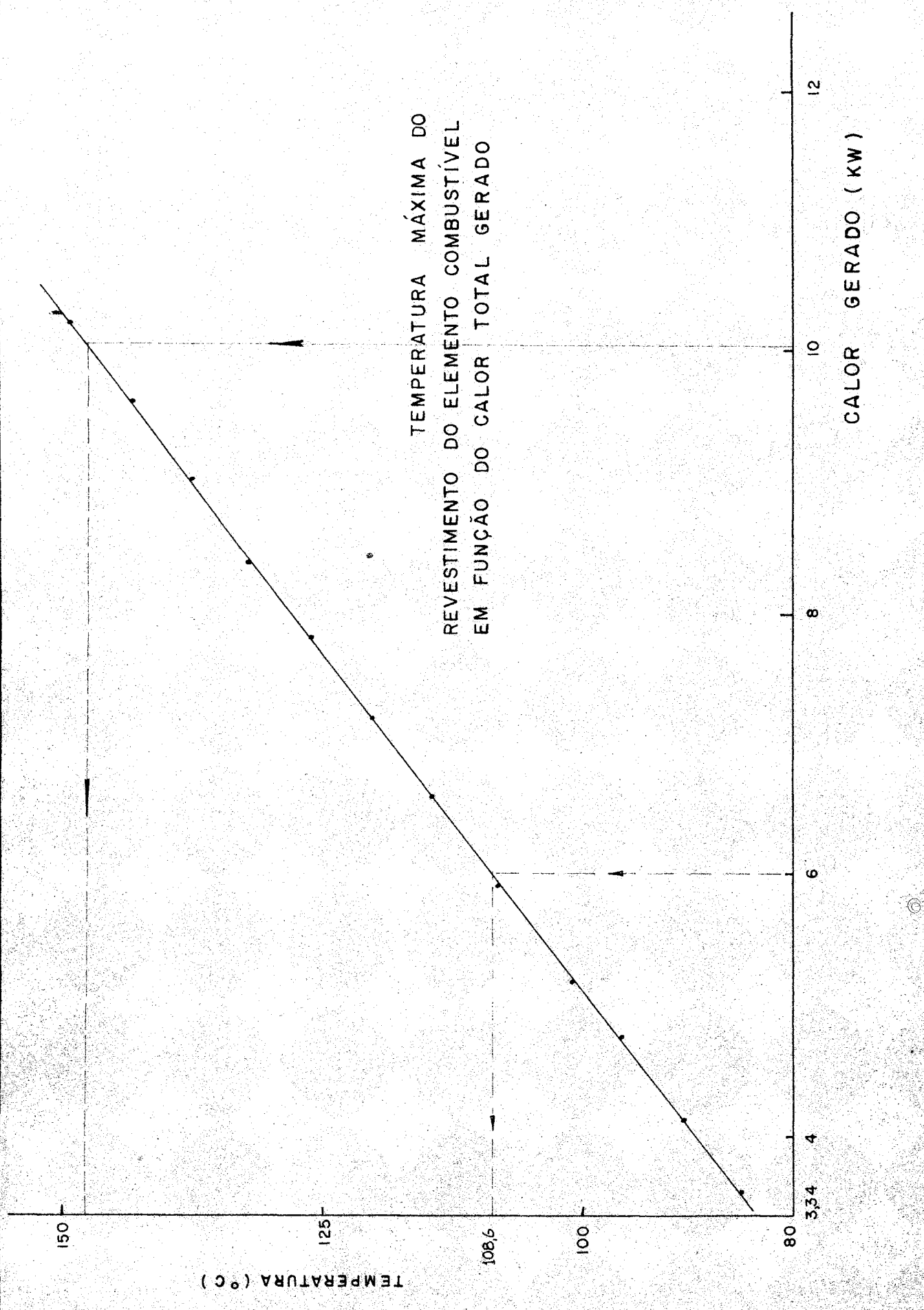
6

8

10

12

CALOR GERADO (KW)



(FIG-34)

Doação de
TOFANI à
Biblioteca do IPR

INSTITUTO DE PESQUISAS RADIOATIVAS - UFMG/CNEN
DIVISÃO DE REAORES

Junho, 1971

ESTUDO DE ASPECTOS TÉRMICOS DE UM
RECIPIENTE PARA TRANSPORTE DE ELEMENTOS
COMBUSTÍVEIS IRRADIADOS

Newton Moreira Leal

Tese submetida ao Curso de Ciências e Técnicas
Nucleares da Universidade Federal de Minas Ge-
rais, como parte dos requisitos necessários
para a obtenção do grau de Mestre em Ciências